

9 de enero de 2026
Archivo No. 01204123.21-13

Sr. Baitong Chen
Distrito de Gestión de la Calidad del Aire de la Costa Sur
21865 Copley Drive
Diamond Bar, California 91765

Asunto: Determinación del Comité de Reacción Mensual sobre los Límites del Área de Reacción del Vertedero de Chiquita Canyon - Castaic, California

Estimado Sr. Chen:

Conforme a las Condiciones No. 9a y 9b de la Orden de Depuración Estipulada Modificada (SOFA) en relación al Vertedero de Chiquita Canyon (el Vertedero o el Centro) (Caso No. 6177-4), el Comité de Reacción revisó los nuevos datos adquiridos aplicables registrados durante el mes de diciembre de 2025, consideró las revisiones del alcance estimado de las condiciones del vertedero de temperaturas elevadas (ETLF) en el Centro de referencia (denominados límites del "Área de Reacción") y ha elaborado esta determinación sobre potencialmente revisar el mapa del Área de Reacción.

El Adjunto A presenta el Plano con el título "Mapa del Área de Reacción", preparado por SCS Engineers (SCS) con fecha 8 de enero de 2026. El Plano muestra el límite del Área de Reacción como se indica en la Condición No. 9a que corresponde a los límites de las Celdas 1/2A, 2B/3, 4 y al Módulo 2B/3/4 P2 como línea negra sólida. El Plano también muestra el alcance estimado de las condiciones de ETLF experimentadas en el sitio en base a la revisión de los datos científicos del Comité de Reacción como línea de puntos magenta. El fundamento que sirve como base para considerar ajustes y modificaciones en el límite del Área de Reacción (o la determinación de mantener el límite decretado) incluye lo siguiente:

- Temperaturas del cabezal del pozo de Biogás (LFG) que exceden aproximadamente los 160 grados Fahrenheit.
- Mala calidad del gas (definido como niveles de metano inferiores al 30 por ciento) junto con proporciones de metano-dióxido de carbono ($\text{CH}_4:\text{CO}_2$) inferiores a 1.0.
- La concentración de hidrógeno (H_2) en el LFG que mide más del 2 por ciento por volumen.
- La concentración de monóxido de carbono (CO) en el LFG que mide más del 2,000 ppm.
- Asentamiento acelerado de la superficie del vertedero, definida como aproximadamente 18 pulgadas o más dentro de un período de 60 días y grietas en la cubierta del vertedero. Esto corresponde a un índice de un valor de tensión (es decir, un índice de asentamiento) del 3 por ciento por año para zonas con profundidad de columnas de desechos de 300 pies, que creemos que es una profundidad promedio razonable en el tema de interés.
- Observaciones de primera mano del Vertedero y/o del personal de campo de ingeniería, construcción y operaciones y mantenimiento (O&M) de SCS que está en el sitio. 1) cantidades excesivas atípicas de lixiviados (presencia y cantidad de líquidos); 2) instancias de líquidos presurizados que salen de la superficie del vertedero, desde los pozos durante las perforaciones y desde los pozos de LFG; y 3) las



características de los olores que se originan en las áreas seleccionadas de la huella de desechos (generalmente descritas como "similares a productos químicos" y distintivamente diferentes del LFG típico u olores en el trabajo del vertedero)

- Observaciones de condiciones y características de los desechos de la subsuperficie como se indica en los registros de perforación del pozo para nuevos pozos y/o sondas, recién instalados.
- Temperaturas de la subsuperficie registradas en las sondas de temperatura de desechos in-situ durante diciembre de 2025.
- Temperatura del gas o de los líquidos medida en profundidad dentro del tubo elevador del pozo de LFG (utilizando un transmisor automatizado o instrumentación de campo manual).
- Temperatura y presiones en la subsuperficie asociadas a las actividades de perforaciones para los nuevos pozos de extracción de gas durante diciembre de 2025, si corresponde.

CONSIDERACIONES DE POTENCIALES AJUSTES AL ALCANCE ESTIMADO DE LAS CONDICIONES DEL ETLF (LÍNEA DE PUNTOS MAGENTA)

Al realizar sus determinaciones mensuales, el Comité de la Reacción evalúa los parámetros del set de datos arriba indicados, junto con otro más, para identificar tendencias significativas que indiquen condiciones de ETLF, en lugar de fluctuaciones exhibidas en puntos de datos aislados.

Cada mes, el Comité de la Reacción examina áreas particulares del Vertedero que previamente exhibieron datos anormales o fluctuantes, cuando aplica. Como se trata a continuación, a pesar de varianzas menores en áreas discretas del vertedero, el Comité de la Reacción no ha discernido ninguna tendencia significativa con respecto a los datos de diciembre de 2025 que indiquen que la reacción se ha expandido a estas áreas.

Cerca de CV-24009

El pozo CV-24009 está posicionado dentro de los 60 pies, aproximadamente de la línea límite delineada y los datos registrados durante diciembre demuestran que las condiciones generalmente se mantuvieron sin cambios durante los últimos cinco meses. Como se indicó en informes previos, el Comité de la Reacción sospecha que el movimiento de gases desde adentro de la zona reactiva a través de colectores horizontales es la potencial causa del calor y la tendencia a largo plazo del gas de calidad marginal a mala en este pozo.

Cerca del Límite Este de la Celda 1/2A

El Comité de la Reacción consideró los datos compilados de los pozos posicionados al este del límite delineado actual dentro de la Celda 1/2A, específicamente los pozos CV-2305, CV-24076, CV-24148, CV-24219, CV-2558. Estos pozos están posicionados dentro de los 200 pies de la línea límite delineada. Estos pozos están experimentando contenido de metano marginal, generalmente de menos del 10 por ciento, excepto CV-24076, que exhibió una concentración de metano promedio del 21 por ciento durante diciembre. Sin embargo, las temperaturas promedio en los pozos durante diciembre para CV-2305, CV-24076, CV-24148 y CV-24219 fueron de 147, 156, 140 y 150 grados F, respectivamente. La temperatura promedio durante

diciembre en el pozo CV-2558 fue de 170 grados F. El contenido de hidrógeno en los pozos CV-2305, CV-24076, CV-24148 y CV-2558 fue del 13, 5.2, 8.0 y 8.8 por ciento, respectivamente.

En CV-24219 hay una relación entre el aumento en la temperatura y la reducción en la calidad del metano, debido a que el pozo ha sido reactivado en diciembre después de haber estado fuera de servicio temporalmente en septiembre para que se pueda realizar el despliegue de la nueva cubierta de geomembrana expuesta (EGC) de Alcohol Vinílico Etileno (EVOH)/Polietileno de Alta Densidad (HDPE).

Una revisión de los siete pozos contiguos en la mayor proximidad (CV-2319, 24065/TP-17, 2552, 2557, 25103, 25105S y 25107D) indica que los siete pozos tienen temperaturas relativamente bajas (menos de 152 grados F) que no corresponden a condiciones de la reacción y seis de siete pozos tienen concentraciones de metano mayores al 19 por ciento, de esta manera indicando que está ocurriendo metanogénesis en los alrededores.

Considerando las temperaturas relativamente bajas que generalmente se exhiben en estos cabezales de pozos, además del hecho de que estas temperaturas pueden ser condiciones relativamente a corto plazo asociadas a la reactivación después de que se sacaron temporalmente de la infraestructura del sistema de LFG debido al despliegue de la EGC de EVOH/HDPE, el Comité de la Reacción no cree que se justifique en este momento un ajuste en el límite de la Zona Reactiva para que incluya alguna de las partes de la huella de desechos que incluye estos cinco pozos a lo largo del límite este de la Celda 1/2A.

Cerca de CV-2344

El pozo CV-2344 está posicionado dentro de los 100 pies, aproximadamente del límite delineado. Registró temperaturas de LFG en los pozos en el rango de 133 a 161 grados F durante diciembre y la temperatura promedio durante octubre a diciembre fue de 146 grados F. Aunque la calidad del LFG en CV-2344 es mala, con una concentración de metano promedio del 14 por ciento durante octubre a diciembre, las temperaturas registradas en este pozo son consistentes con las condiciones de la reacción. La temperatura promedio en el pozo adyacente de LFG CV-24066 medida durante este período fue de 149 °F y la concentración de metano promedio fue del 28 por ciento. Además, las temperaturas máximas de los desechos in-situ registradas cerca de TP-05 son menores a 164 grados F. El Comité de la Reacción no cree que se justifique un ajuste en los límites de la Zona Reactiva que incluya las partes de la huella de desechos que incluye el CV-2344 en este momento.

Subáreas Dentro del Límite de la Zona Reactiva Dirigido por Datos

Como se exhibe en los mapas de rango de gradiente isotérmico que se incluyen como **Adjunto C** de este Informe de Determinación de Zona Reactiva mensual, las temperaturas de los cabezales de pozos de biogás registradas cada mes demuestran varias subáreas dentro del límite dirigido por datos que exhiben consistentemente temperaturas sustancialmente más bajas que otros cabezales de pozos dentro de este límite. Una subárea está posicionada en la parte sur-central de la zona reactiva dirigida por datos y otro está posicionado en la parte central este de la zona reactiva dirigida por datos. Ambas subáreas contienen pozos que exhiben temperaturas que están por debajo de los 145 grados F y muchas son tan bajas como 130 grados F. El Comité de la Reacción continúa revisando y analizando los datos registrados en los pozos dentro de estas subáreas para evaluar si varios parámetros operativos indican que la gravedad de la reacción se está reduciendo dentro de estas subáreas, como se evidencia con las temperaturas en disminución y el aumento de las relaciones de metano a dióxido de carbono y la reducción del contenido de hidrógeno en pozos selector dentro de estas subáreas.

DATOS DE LAS SONDAS DE MONITOREO DE TEMPERATURA

El Comité de la Reacción revisó las mediciones de temperatura registradas durante diciembre de 2025 utilizando las sondas de monitoreo de temperatura in-situ. A diciembre de 2025, siete de las 37 sondas (TP-2, TP-3, TP-9, TP-11, TP-15, TP-18 y TP-21) están dentro del alcance estimado actual de las condiciones del ETLF (línea de puntos magenta) De las treinta (30) sondas restantes colocadas fuera de los límites, doce sondas se encuentran ubicadas dentro de una proximidad relativamente cercana (dentro de los 200 pies) de este límite.

Los informes semanales de la sonda de monitoreo de temperatura presentados a principios de diciembre indicaron que ciertos valores de temperaturas medidos en TP-08 fueron considerados inválidos por un mal funcionamiento de los equipos. Este problema se identificó inicialmente en septiembre y las reparaciones en el cableado sueldo se realizaron a mediados de octubre. Sin embargo, las lecturas anómalas continuaron durante noviembre y hacia principios de diciembre, por lo tanto el Comité de la Reacción no consideró que estos valores de temperatura sean válidos durante nuestro análisis mensual.

El Comité de la Reacción evaluó las temperaturas registradas en las 37 TMPs, con particular atención a las siguientes temperaturas máximas:

- TP-24: 197 grados F en el intervalo a los 265 pies;
- TP-25: 208 grados F en el intervalo a los 130 pies;
- TP-26: 176 grados F en el intervalo a los 150 pies;
- TP-29: 185 grados F en el intervalo a los 240 pies;
- TP-31: 189 grados F en el intervalo a los 230 pies; y
- TP-37: 183 grados F en el intervalo a los 180 pies.

Estas termocuplas registraron temperaturas relativamente consistentes en el período de 6 semanas anterior del 20 de noviembre al 30 de diciembre de 2025, excepto para TP-25 que ha experimentado fluctuaciones inusuales desde mediados de octubre, que puede atribuirse a pozos y bombas en los alrededores, que se están retirando de servicio y después reactivando para permitir el despliegue de la cubierta de geomembrana de EVOH/HDPE.

Las temperaturas máximas registradas durante diciembre en termocuplas específicas en TP-24, TP-29 y TP-31 están en 185 grados F o más, que podrán no ser significativamente elevadas para las termocuplas dentro de estas sondas que están posicionadas dentro de las zonas de desechos más profundas, pero son potencialmente indicativas de generación y acumulación de calor, asociado a condiciones de reacción cuando están presentes junto con cambios en la composición del gas, producción excesiva de lixiviados, cambios en la composición de lixiviados, asentamiento acelerado, presiones excesivas y otras características de ETLF. Hay una menor diferenciación entre las temperaturas máximas en 30 días en estas tres sondas, comparadas con las temperaturas máximas en 30 días medidas en las cuatro sondas dentro de la extensión estimada actual de las condiciones de ETLF (línea de puntos magenta), específicamente TP-3, TP-9, TP-15 y TP-21. Sin embargo, los cuatro pozos que están alrededor de TP-24 (CV-24086, CV-24087, CV-24174 y CV-24175) registraron temperaturas promedio en el cabezal del pozo de LFG durante octubre a diciembre de 114 grados F, que es muy por debajo del rango asociado a las condiciones de ETLF. Esos cuatro pozos también registraron concentraciones de metano promedio de un 40 por ciento durante este período, que es consistente con producción de metano de biogás típica para estas instalaciones. Los tres pozos que rodean TP-29 (CV-24091, CV-24171 y CV-24207) registraron temperaturas promedio en el cabezal del pozo de LFG durante octubre a diciembre de 122 grados F y concentraciones de metano promedio del 48 por ciento durante este período, que sugiere condiciones de descomposición normal

de la subsuperficie asociada a la producción de metano. Los dos pozos contiguos a TP-31 (CV-2319 y CV-24111) registraron temperaturas promedio en el cabezal del pozo de LFG durante octubre a diciembre de 127 grados F, que es muy por debajo del rango asociado a las condiciones de ETLF. Mientras que la concentración promedio de metano en CV-2319 es del 19 por ciento, la concentración promedio de metano en CV-24111 durante los últimos tres meses fue del 44 por ciento, que es consistente con producción de metano de biogás típica para estas instalaciones. Entonces, los pozos que están alrededor de estas tres sondas no exhiben evidencia de calor atípico o de la composición del LFG asociado a condiciones de ETLF.

Por lo tanto, el Comité de la Reacción no cree que se justifique en este momento un ajuste en el límite de la Zona Reactiva que incluya las partes de la huella de desechos que incluya TP-24, TP-25, TP-26, TP-29, TP-30, TP-31 y TP-37.

CONCENTRACIONES DE HIDRÓGENO

El Comité de Reacción también evaluó la concentración de H₂ en el LFG durante diciembre de 2025. Recordamos que ciertos pozos posicionados al Sur este del límite de la Zona Reactiva (donde el bombeo de desagote experimentó algunas bajas de servicio debido a la instalación de las cubiertas y fue reactivado en subáreas selectas) habían demostrado periódicamente algún aumento en el contenido de H₂ en el LFG durante la revisión del Comité de Reacción de los datos de los meses anteriores, que fue un caso similar para los datos de diciembre de 2025. El Comité de la Reacción notó en su revisión de los datos que estos pozos no exhibieron temperaturas elevadas, excepto en los pozos CV-2344, CV-24076, CV-24148 y CV-2558. Las condiciones en cada uno de estos cuatro pozos se analizan en otras secciones de este informe y, excepto para CV-2558, que estuvo inactivo por un período de tiempo extendido, las temperaturas elevadas son ocurrencias a corto plazo y las temperaturas promedio no ofrecen evidencia del aumento de calor que es típico con condiciones de ETLF en los pozos que exhiben concentraciones de H₂ atípicas. Como se notó previamente, el Comité de la Reacción sospecha que este aumento en el contenido de H₂ podría atribuirse a los sustanciales desagotes que se están logrando en toda la Zona Reactiva y podría estar asociado al movimiento de gas desde adentro de la Zona Reactiva por los colectores horizontales cercanos existentes. Por lo tanto, la presencia de H₂ elevado en estos lugares aislados no sugieren que las condiciones de ETLF se estén expandiendo hacia el sur y hacia el este del límite delineado. Por lo tanto, el Comité de Reacción no cree que se justifique un ajuste en el límite de la Zona Reactiva en este momento.

CONCLUSIÓN

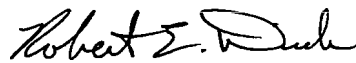
Como se presenta en el Plano incluido como **Adjunto A**, el alcance estimado de las condiciones de ETLF (línea de puntos de color magenta) está completamente contenida dentro del límite del Área de Reacción decretado en la SOFA (línea sólida negra). Como las condiciones del ETFL están completamente contenidas dentro del límite del Área de Reacción y no experimentaron ninguna celda nueva, el Comité de Reacción no encuentra ninguna base para modificar el límite del Área de Reacción como se indica en la Condición 9a, en este momento.

No hubo ninguna opinión disidente entre los miembros del Comité de Reacción sobre esta determinación mensual. Los datos de respaldo se presentan en el Plano incluido como **Adjunto A**. Las mediciones de temperaturas máximas registradas en las 32 sondas de monitoreo de temperatura de los desechos in-situ (tanto valores de 7 Días como de 30 Días) durante diciembre se presentan en el **Adjunto B** en formato gráfico. Las temperaturas de los pozos de LFG registradas en los pozos de extracción para toda la huella del Vertedero se reflejan en el mapa de rango de gradiente isotérmica presentado como **Adjunto C**. Las relaciones de CH₄:CO₂ medidas en los pozos de LFG en las cercanías del límite de la Zona Reactiva dirigido por datos se exhiben en el mapa de rangos presentado como **Adjunto D**. Las concentraciones de H₂

Sr. Baitong Chen
9 de enero de 2026
Página 6

medidas en los pozos de LFG cerca de límite de la Zona Reactiva dirigida por datos se exhiben en el mapa de rangos como **Adjunto E**. Las concentraciones de CO medidas en los cabezales de pozos de LFG cerca del límite de la Zona Reactiva dirigida por datos se exhiben en el mapa de rangos presentado como **Adjunto F**. Los valores isopáquicos del asentamiento de la superficie del vertedero medidos trimestralmente (1 de octubre de 2025 comparados con los del 30 de diciembre de 2025) cerca del límite de la Zona Reactiva dirigida por datos se exhiben en el mapa de rangos presentado como **Adjunto G**. La base de datos electrónica y la plataforma de registros permite que estas mediciones puedan descargarse en un formato de hoja de cálculo tabular, que puede ser presentada al Distrito de Gestión de la Calidad del Aire de la Costa Sur en una portada separada, si lo solicitan.

Por favor, comuníquese con el firmante si tiene preguntas o si necesita más información. Atentamente,



Robert E. Dick, PE, BCEE
Vicepresidente Sénior
SCS Engineers



Patrick S. Sullivan, BCES, CCP
Vicepresidente Sénior
SCS Engineers

RED/PSS

cc: Nathaniel Dickel, SCAQMD
Christina Ojeda, SCAQMD
Patrick S. Sullivan, REPA, CPP, BCES, SCS Engineers
Pablo Sánchez Soria, PhD, CIH, CTEH
Neal Bolton, PE, Blue Ridge Services, Inc.
Richard Pleus, PhD, Intertox
Srividhya Viswanathan, PE, SCS Engineers

Adjuntos:

Adjunto A - Mapa del Área de Reacción
Adjunto B - Datos de las Sondas de Monitoreo de Temperatura de los Desechos In-Situ
Adjunto C - Mapa de Distribución de Gradientes Isotérmicas
Adjunto D - Mapa de Distribución de Metano-Dióxido de Carbono del Cabezal del Pozo
Adjunto E - Mapa de Distribución de Hidrógeno en el Cabezal del Pozo
Adjunto F - Mapa de Distribución de Monóxido de Carbono del Cabezal del Pozo
Adjunto G - Mapa Isopáquico de Distribución de los Asentamientos

Solid Waste Borehole Maximum
Temperature Profiles Over 6 Weeks
for 11/20/2025 to 12/30/2025

SCS ENGINEERS

07224053.00 | December 31, 2025

274 Granite Run Drive
Lancaster, PA 17601
717-550-6330

From December 23, 2025, through December 30, 2025, there were twenty-one (21) recorded temperature decreases and seven (7) recorded temperature increases that triggered the notification limits set forth in the LEA's October 4, 2024 letter. Due to recent heavy rains many thermocouples showed temporary drops in temperature that then returned to normal.

Additionally, as of December 11, 2025, five new TMPs (TMP-36, TMP-37, TMP-38, TMP-39, and TMP-40) have been installed and are online, in addition to the 12 TMPs previously installed as of April 4, 2025. None of these new TMPs indicate reaction temperatures occurring outside of the currently delineated data-driven reaction area boundary, and the four TMPs that were able to be drilled to within 25 feet of the liner (TMP-24, TMP-27, TMP-31, and TMP-32) show significantly cooler temperatures at the deepest thermocouple, as expected due to the cooling from the underlying earth.

Chiquita provides the following updates:

- TP-08
 - The 100-foot thermocouple showed a decrease in maximum temperature of 16°F from 117°F to 101°F from December 22nd to December 29th.
 - The 125-foot thermocouple showed a decrease in maximum temperature of 18°F from 121°F to 103°F from December 23rd to December 30th.
 - The 150-foot thermocouple showed a decrease in maximum temperature of 23°F from 129°F to 106°F from December 22nd to December 29th.

- TP-11
 - The 30-foot thermocouple remained consistent with previous recorded temperatures.
 - The 80-foot thermocouple showed a decrease in maximum temperature of 17°F from 178°F to 161°F from December 23rd to December 30th.
 - The 125-foot thermocouple showed a decrease in maximum temperature of 14°F from 194°F to 181°F from December 21st to December 28th.

- TP-15
 - The 30-foot thermocouple showed a decrease in maximum temperature of 11°F from 205°F to 194°F from December 22nd to December 28th.
 - The 45-foot thermocouple showed a decrease in maximum temperature of 14°F from 211°F to 197°F from December 22nd to December 27th.
 - The 75-foot thermocouple showed a decrease in maximum temperature of 14°F from 212°F to 198°F from December 22nd to December 28th.
 - The 100-foot thermocouple showed a decrease in maximum temperature of 15°F from 212°F to 197°F from December 21st to December 28th.

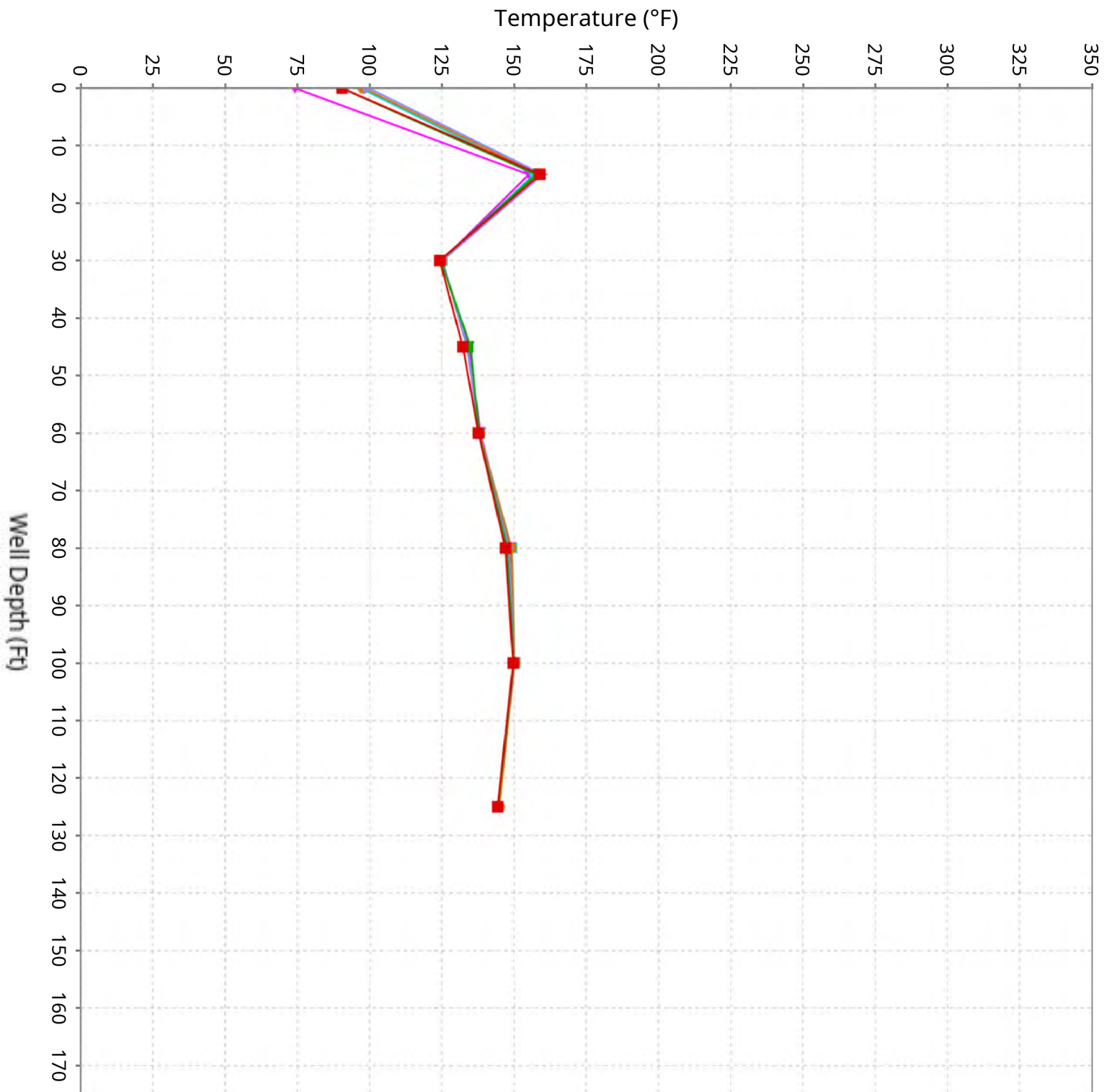
- TP-19
 - The 15-foot thermocouple showed a decrease in maximum temperature of 12°F from 141°F to 129°F from December 22nd to December 26th.

- TP-21
 - The 60-foot thermocouple showed an increase in maximum temperature of 14°F from 156°F to 170°F from December 24th to December 30th.
 - The 85-foot thermocouple showed a decrease in maximum temperature of 11°F from 209°F to 198°F from December 28th to December 30th.
 - The 110-foot thermocouple showed an increase in maximum temperature of 36°F from 217°F to 253°F from December 28th to December 30th.

- TP-24
 - The 15-foot thermocouple showed a decrease in maximum temperature of 13°F from 107°F to 94°F from December 22nd to December 29th.
- TP-29
 - The 15-foot thermocouple showed a decrease in maximum temperature of 20°F from 134°F to 114°F from December 21st to December 28th.
- TP-30
 - The 15-foot thermocouple showed a decrease in maximum temperature of 14°F from 105°F to 91°F from December 22nd to December 26th.
 - The 30-foot thermocouple showed a decrease in maximum temperature of 19°F from 110°F to 91°F from December 22nd to December 26th.
 - The 45-foot thermocouple showed a decrease in maximum temperature of 25°F from 117°F to 92°F from December 22nd to December 26th.
- TP-36
 - The 15-foot thermocouple showed a decrease in maximum temperature of 44°F from 110°F to 66°F from December 23rd to December 27th, and then an increase in maximum temperature of 18°F from 66°F to 84°F from December 27th to December 30th.
 - The 30-foot thermocouple showed a decrease in maximum temperature of 54°F from 124°F to 70°F from December 22nd to December 25th, and then an increase in maximum temperature of 35°F from 70°F to 105°F from December 25th to December 30th.
 - The 45-foot thermocouple showed a decrease in maximum temperature of 58°F from 133°F to 75°F from December 22nd to December 25th, and then an increase in maximum temperature of 42°F from 75°F to 117°F from December 25th to December 30th.
 - The 75-foot thermocouple showed a decrease in maximum temperature of 39°F from 136°F to 97°F from December 22nd to December 26th, and then an increase in maximum temperature of 24°F from 97°F to 121°F from December 26th to December 30th.
- TP-37
 - The 45-foot thermocouple showed an increase in maximum temperature of 16°F from 132°F to 148°F from December 23rd to December 27th, and then a decrease in maximum temperature of 14°F from 148°F to 134°F from December 27th to December 30th.

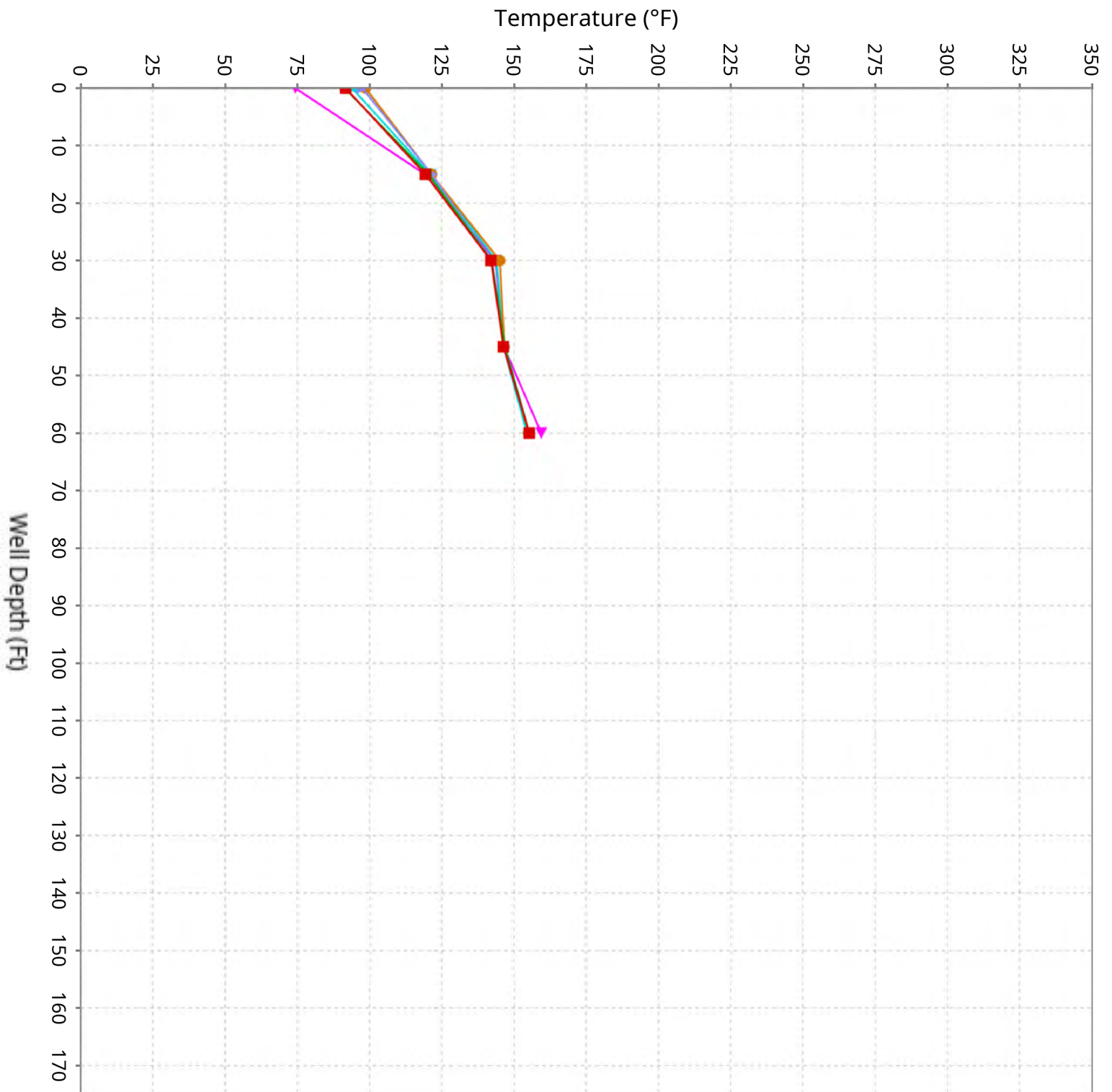
Vertical Temperature Profiles from Temperature Probes at Chiquita Landfill for TP-1

Maximum data for 11/20/2025 to 12/30/2025



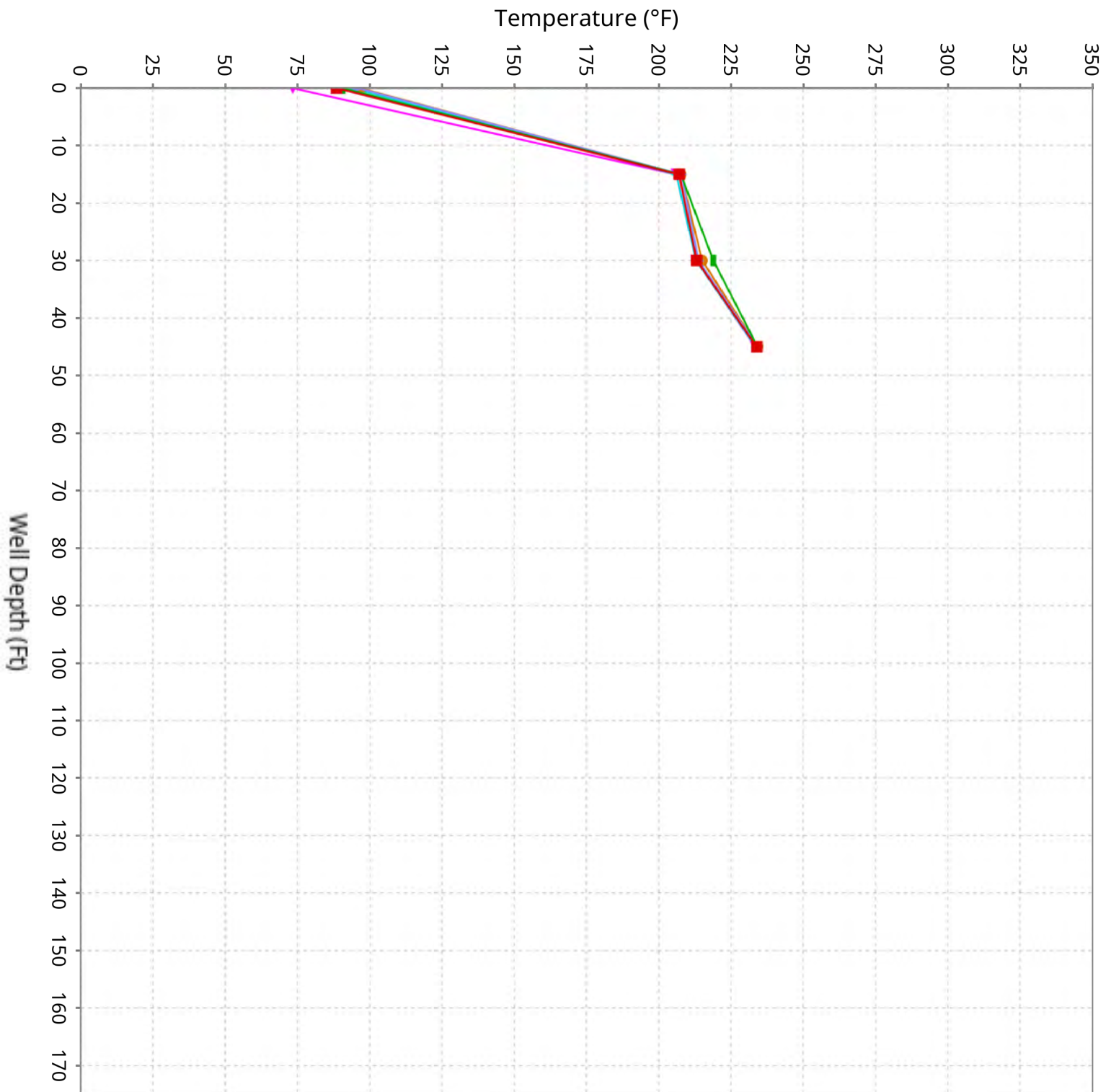
Vertical Temperature Profiles from Temperature Probes at Chiquita Landfill for TP-2

Maximum data for 11/20/2025 to 12/30/2025



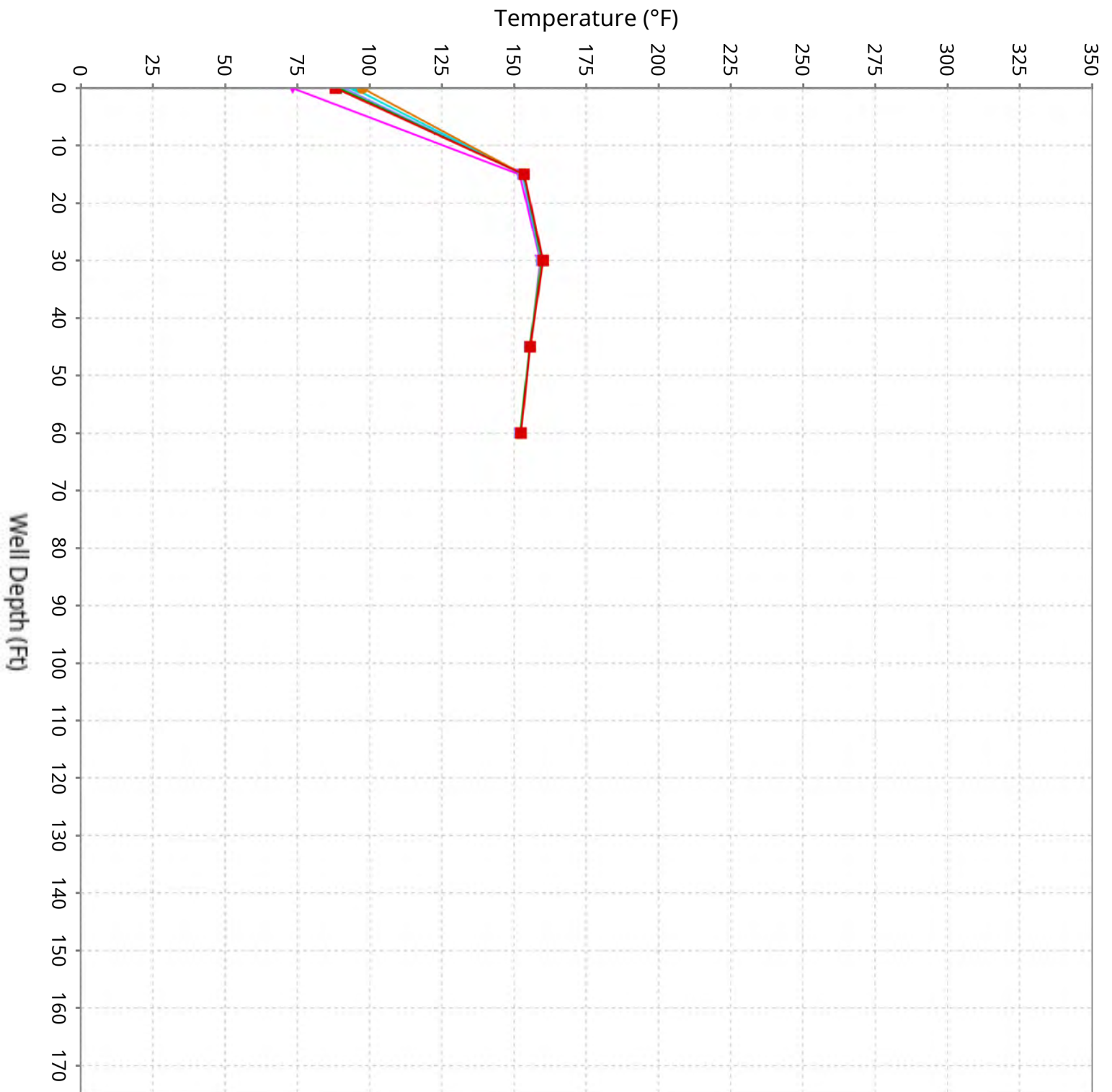
Vertical Temperature Profiles from Temperature Probes at Chiquita Landfill for TP-3

Maximum data for 11/20/2025 to 12/30/2025



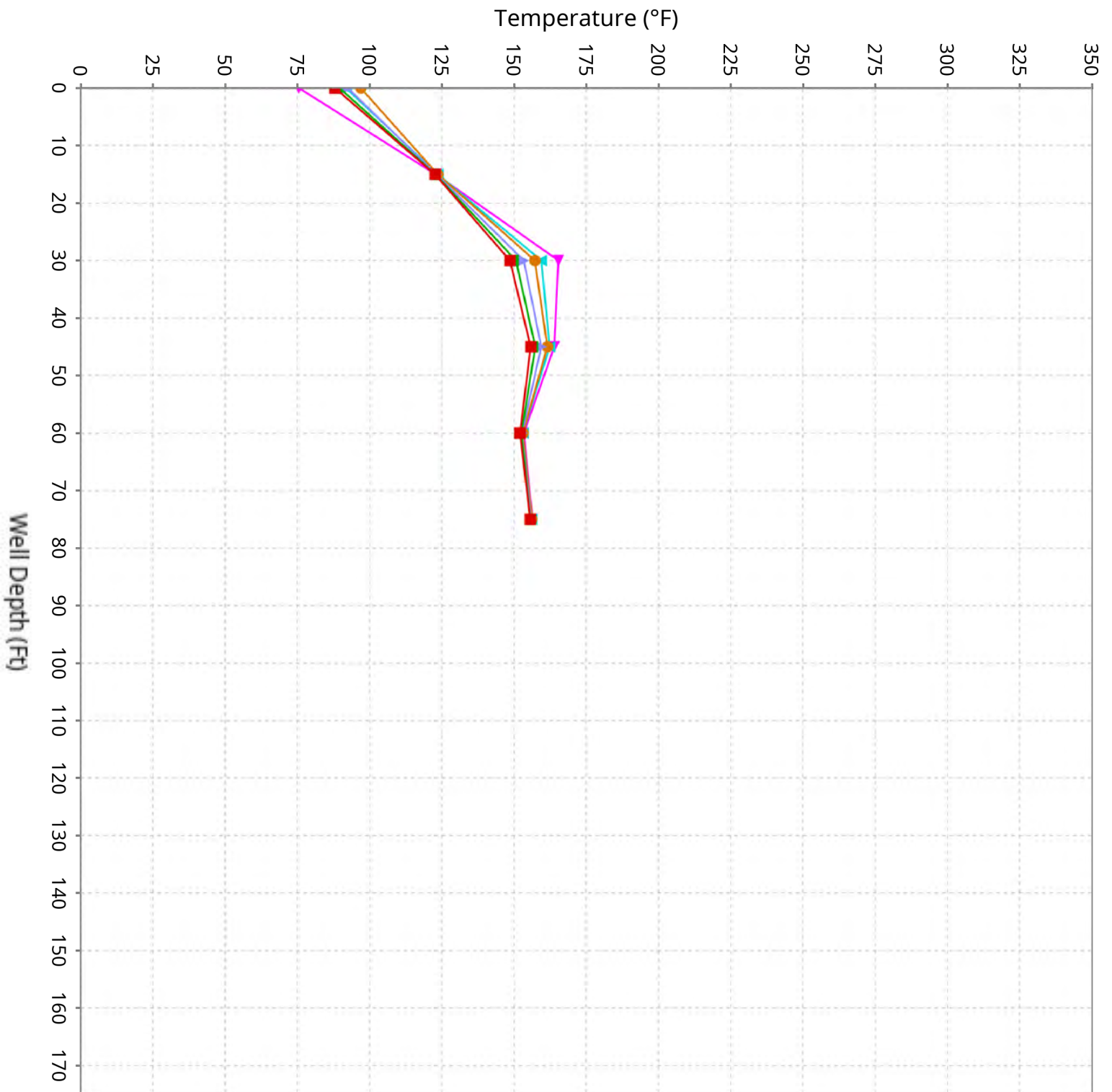
Vertical Temperature Profiles from Temperature Probes at Chiquita Landfill for TP-4

Maximum data for 11/20/2025 to 12/30/2025



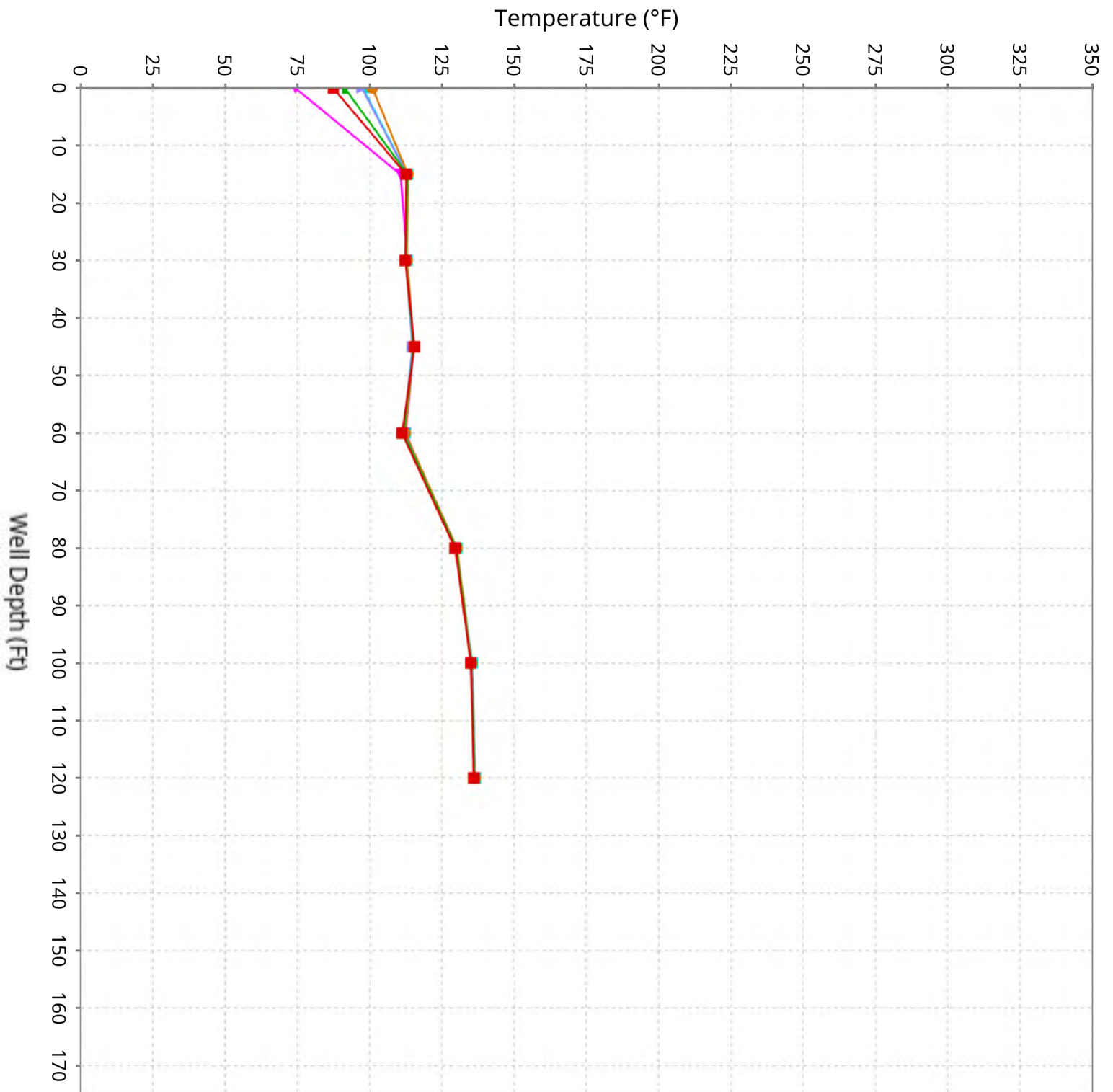
Vertical Temperature Profiles from Temperature Probes at Chiquita Landfill for TP-5

Maximum data for 11/20/2025 to 12/30/2025



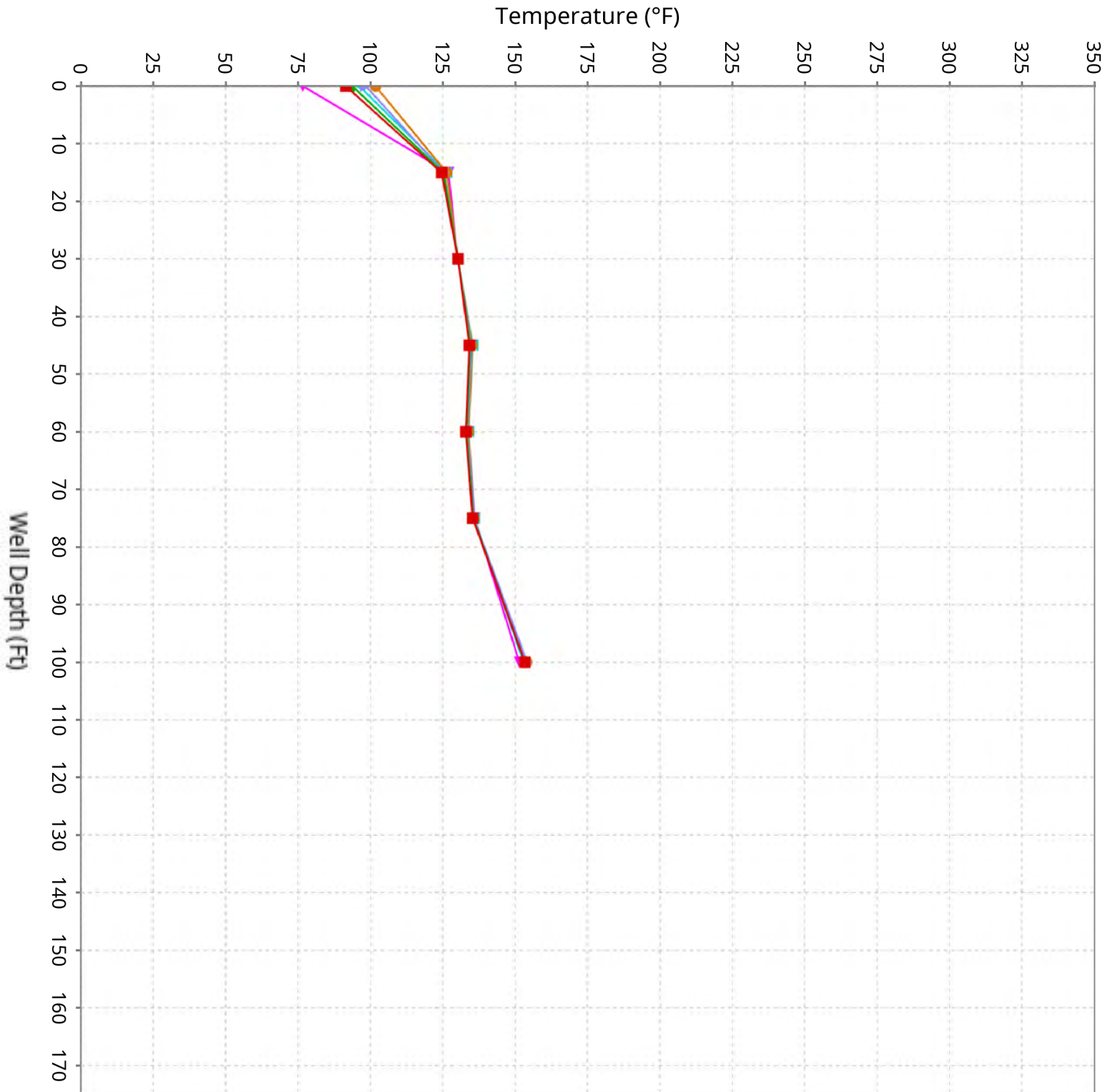
Vertical Temperature Profiles from Temperature Probes at Chiquita Landfill for TP-6

Maximum data for 11/20/2025 to 12/30/2025



Vertical Temperature Profiles from Temperature Probes at Chiquita Landfill for TP-7

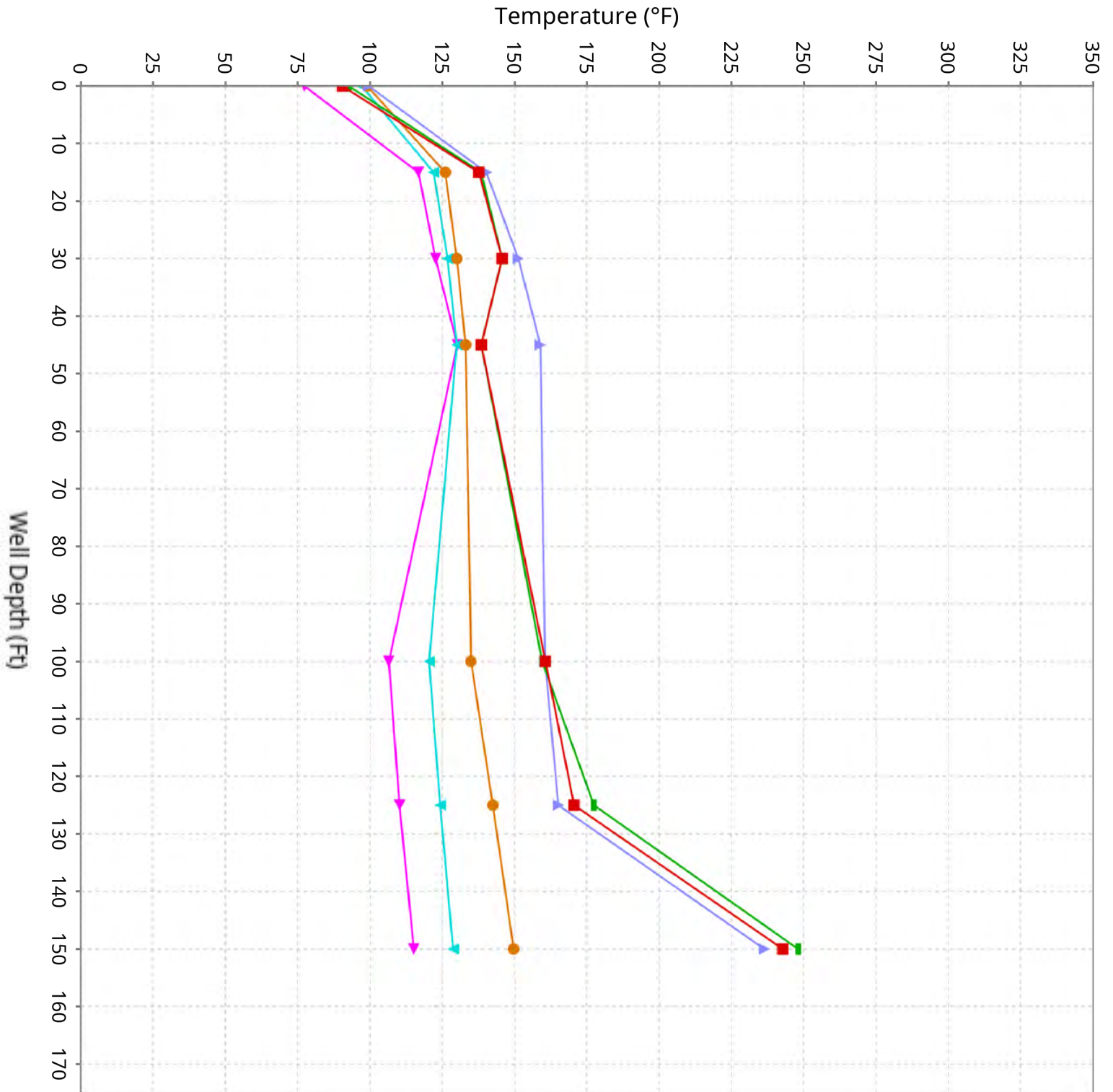
Maximum data for 11/20/2025 to 12/30/2025



■ 11/20/25-11/27/25 ■ 11/27/25-12/4/25 ■ 12/4/25-12/11/25 ■ 12/11/25-12/18/25 ■ 12/18/25-12/25/25 ■ 12/26/25-12/31/25

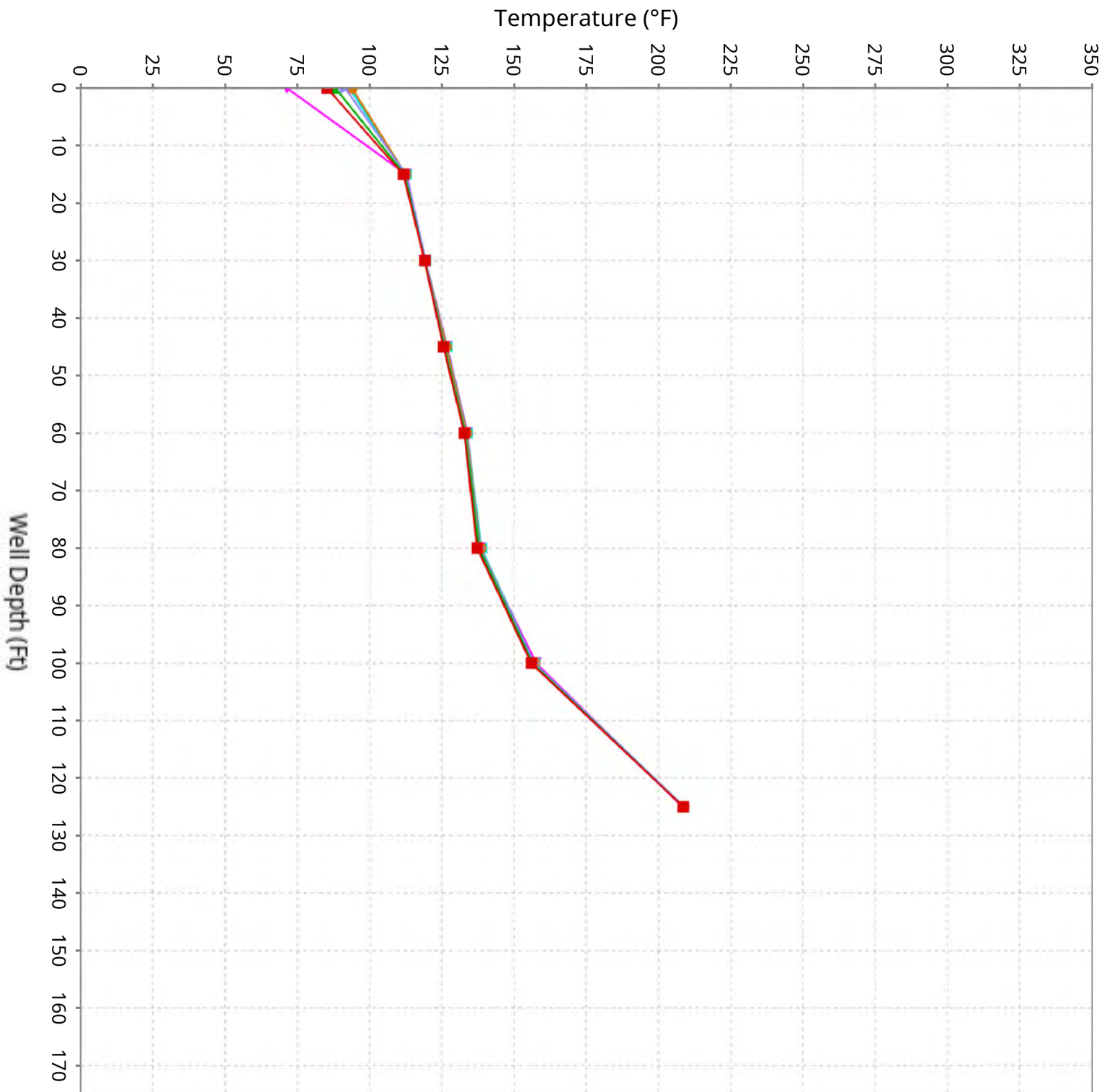
Vertical Temperature Profiles from Temperature Probes at Chiquita Landfill for TP-8

Maximum data for 11/20/2025 to 12/30/2025



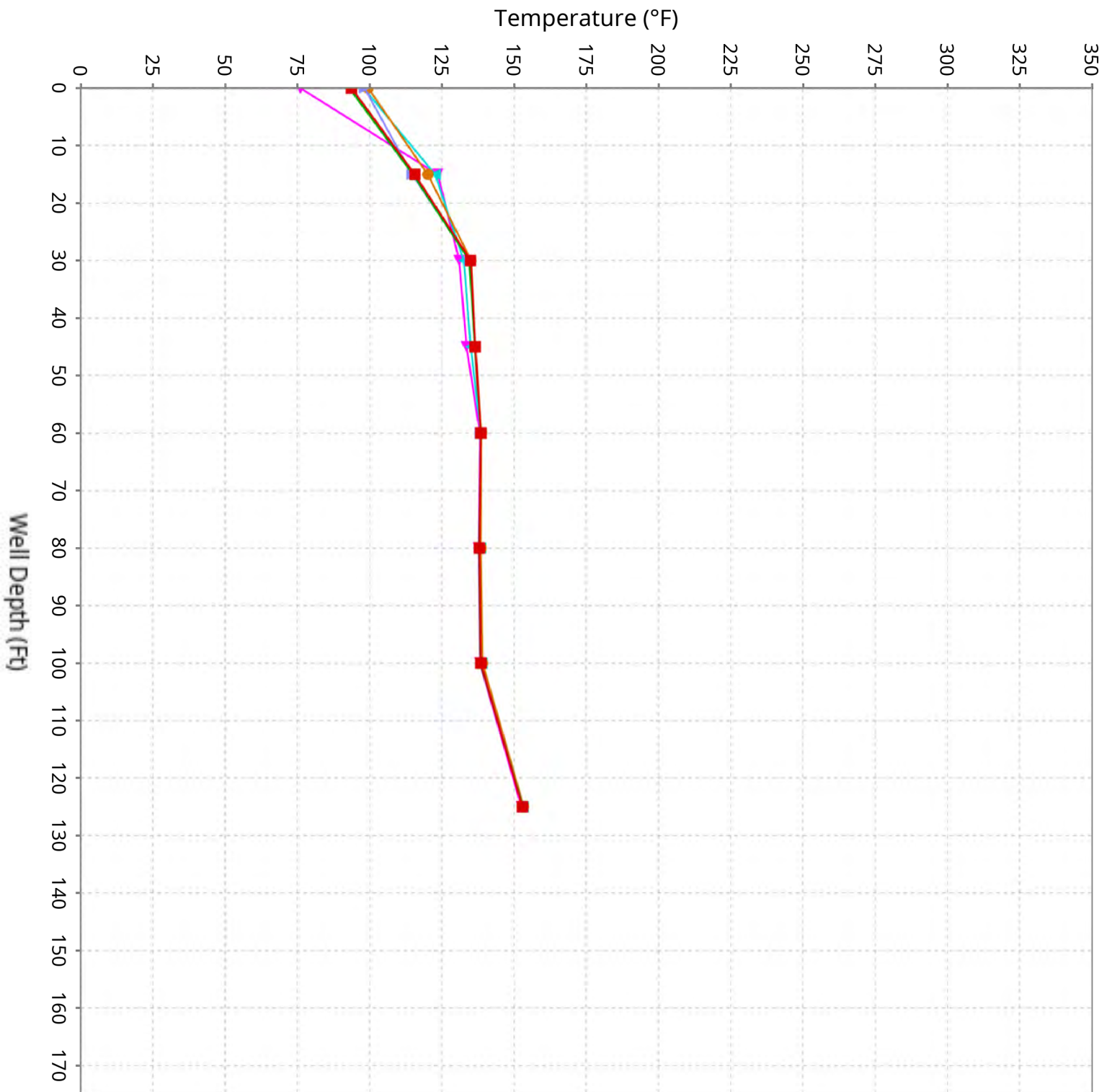
Vertical Temperature Profiles from Temperature Probes at Chiquita Landfill for TP-9

Maximum data for 11/20/2025 to 12/30/2025



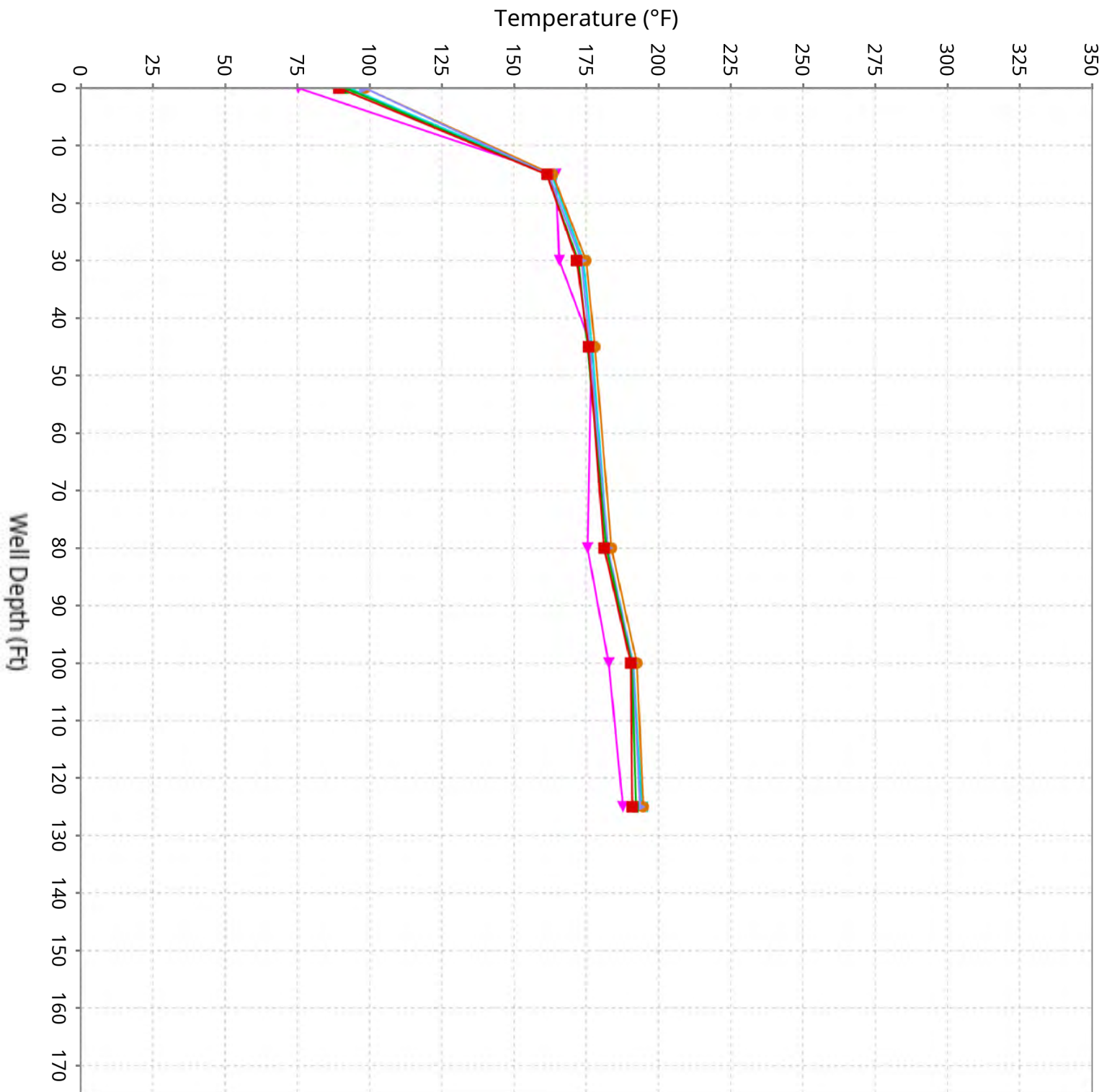
Vertical Temperature Profiles from Temperature Probes at Chiquita Landfill for TP-10

Maximum data for 11/20/2025 to 12/30/2025



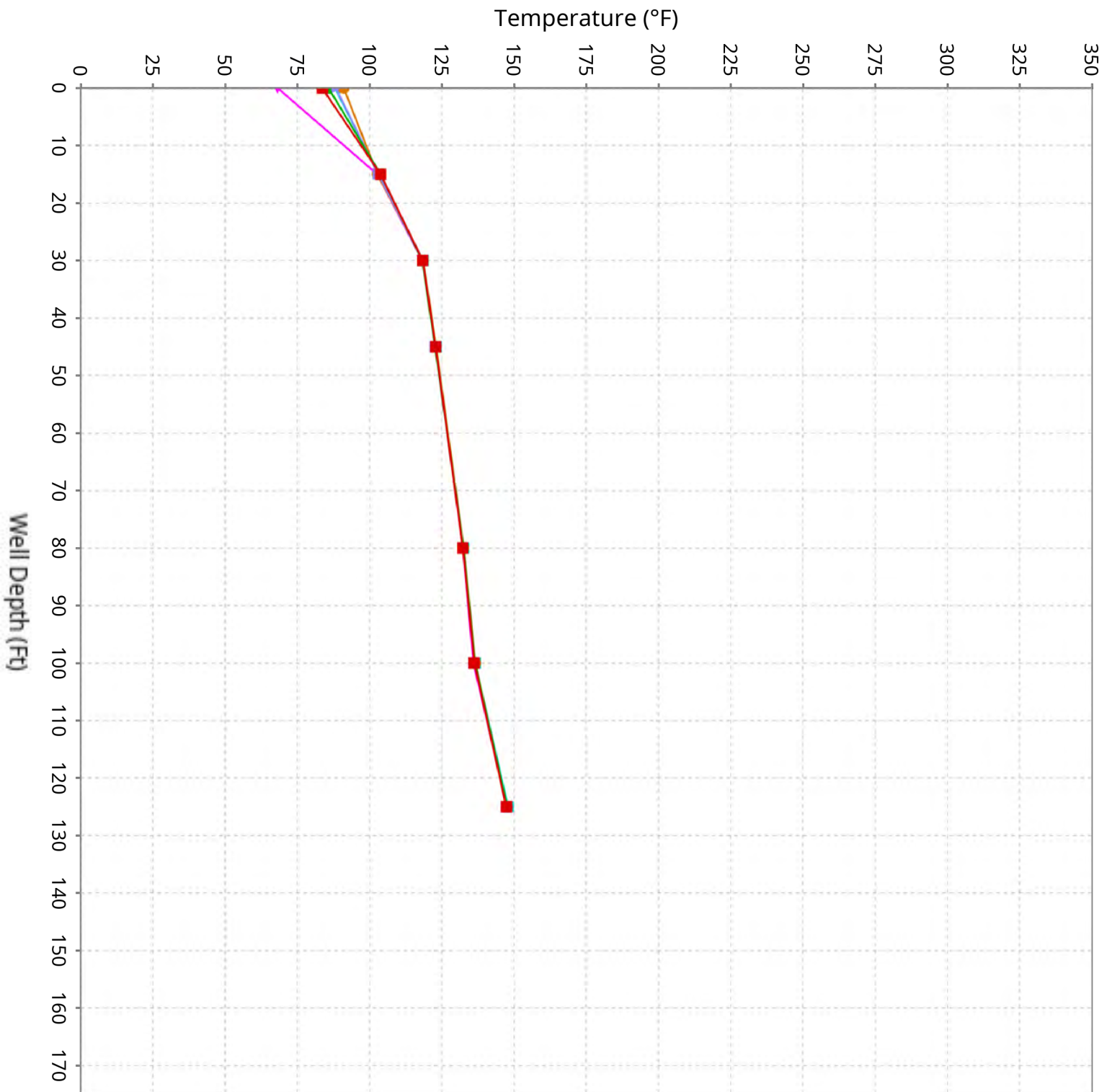
Vertical Temperature Profiles from Temperature Probes at Chiquita Landfill for TP-11

Maximum data for 11/20/2025 to 12/30/2025



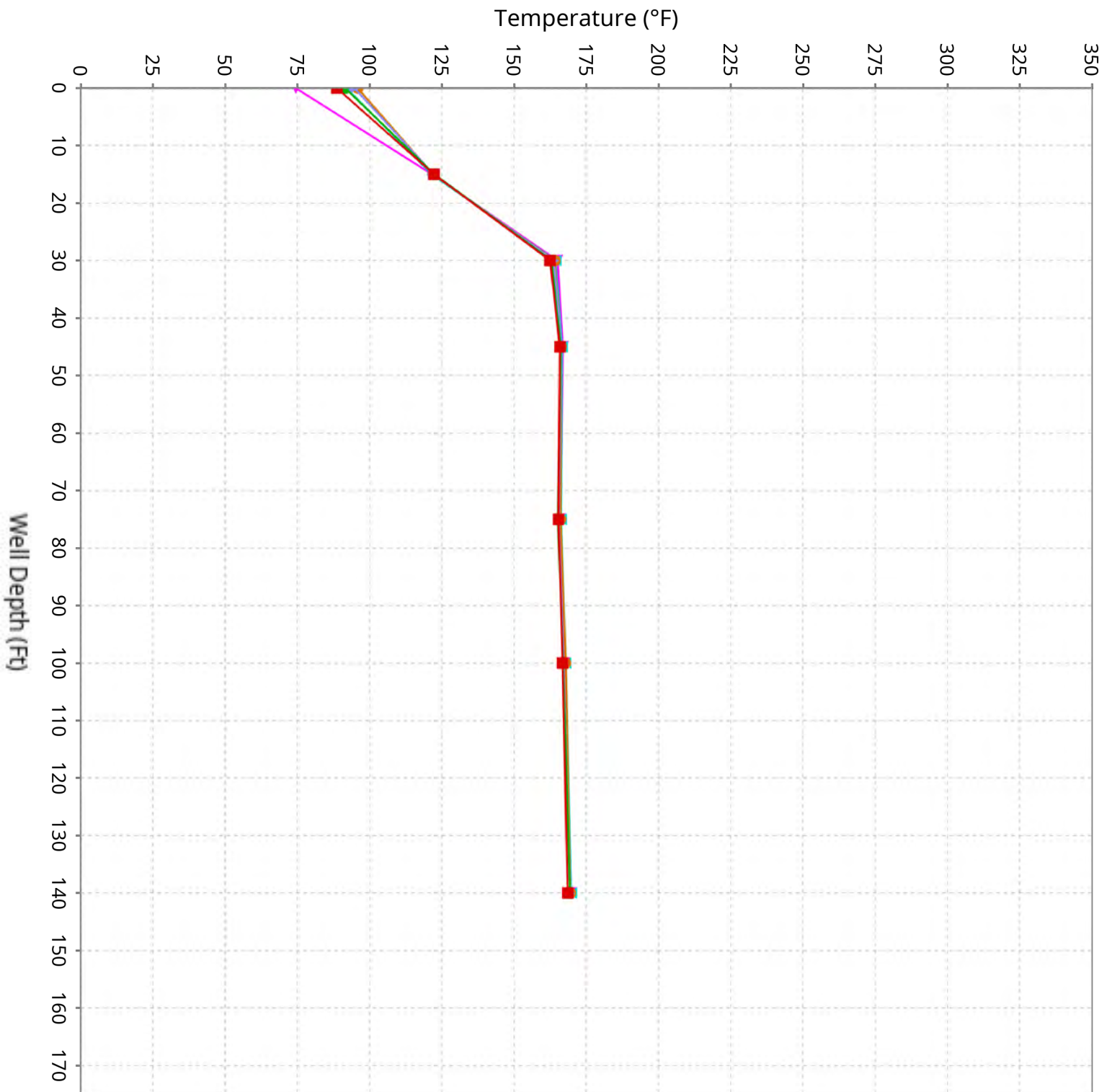
Vertical Temperature Profiles from Temperature Probes at Chiquita Landfill for TP-12

Maximum data for 11/20/2025 to 12/30/2025



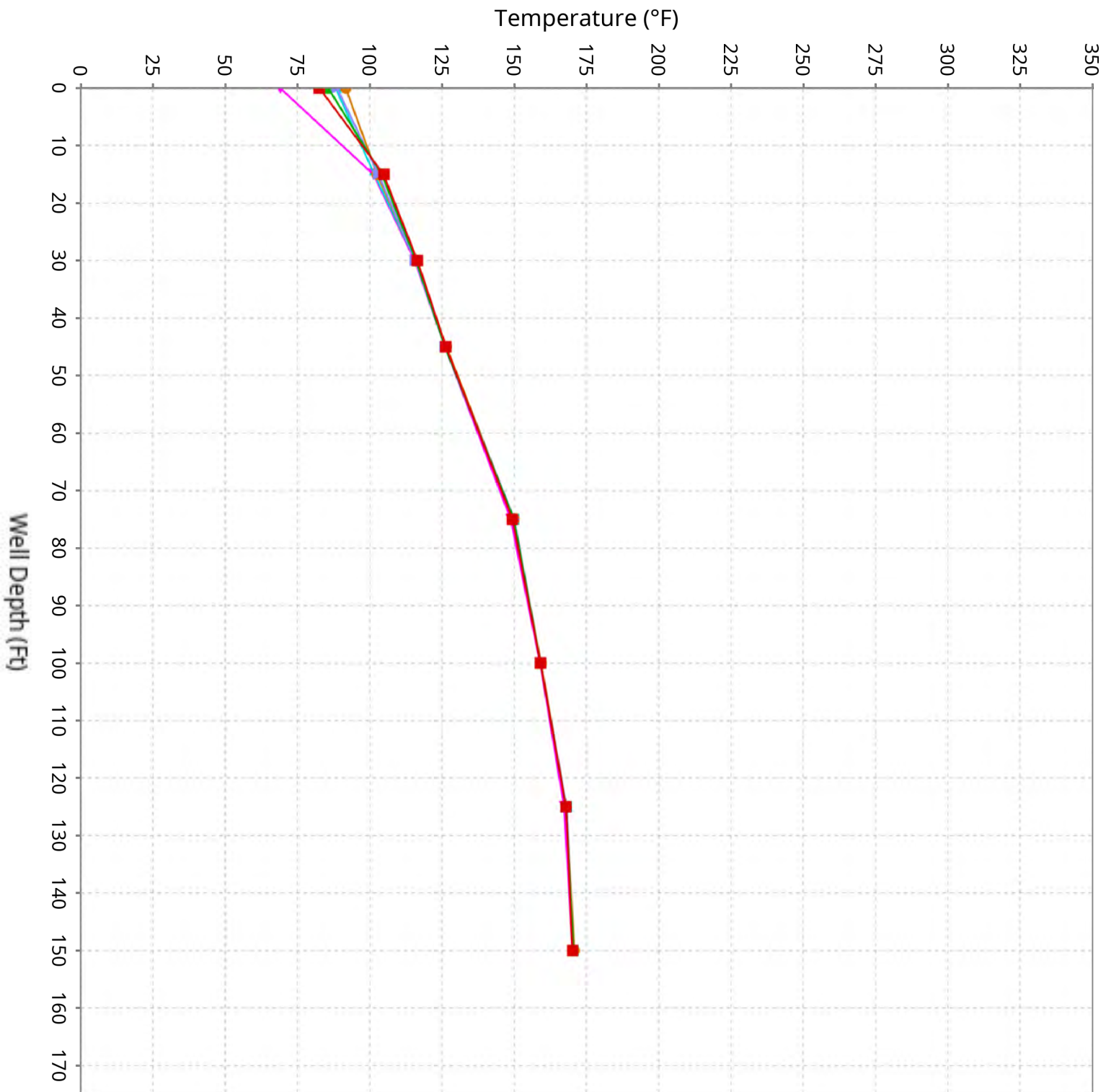
Vertical Temperature Profiles from Temperature Probes at Chiquita Landfill for TP-13

Maximum data for 11/20/2025 to 12/30/2025



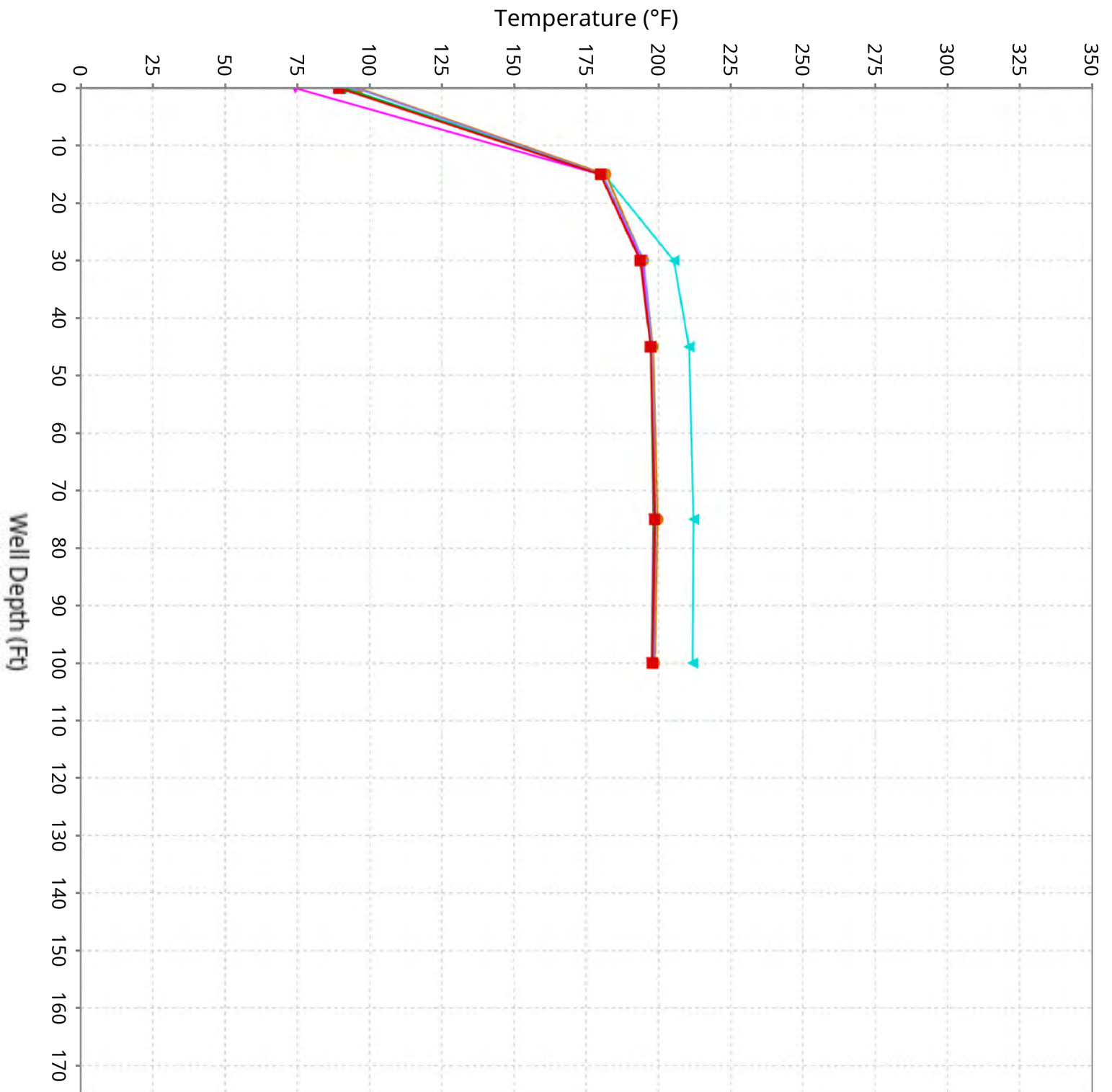
Vertical Temperature Profiles from Temperature Probes at Chiquita Landfill for TP-14

Maximum data for 11/20/2025 to 12/30/2025



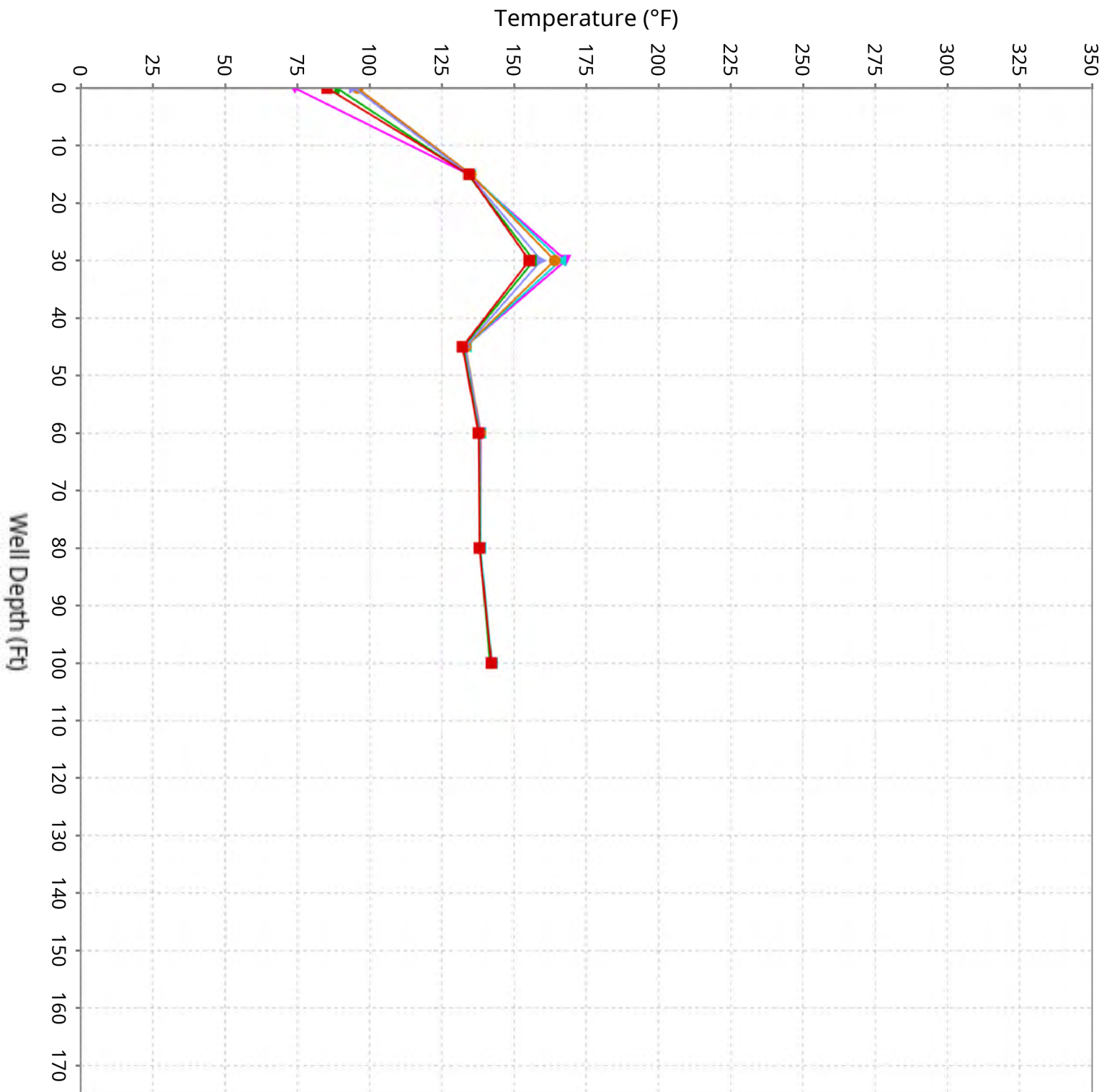
Vertical Temperature Profiles from Temperature Probes at Chiquita Landfill for TP-15

Maximum data for 11/20/2025 to 12/30/2025



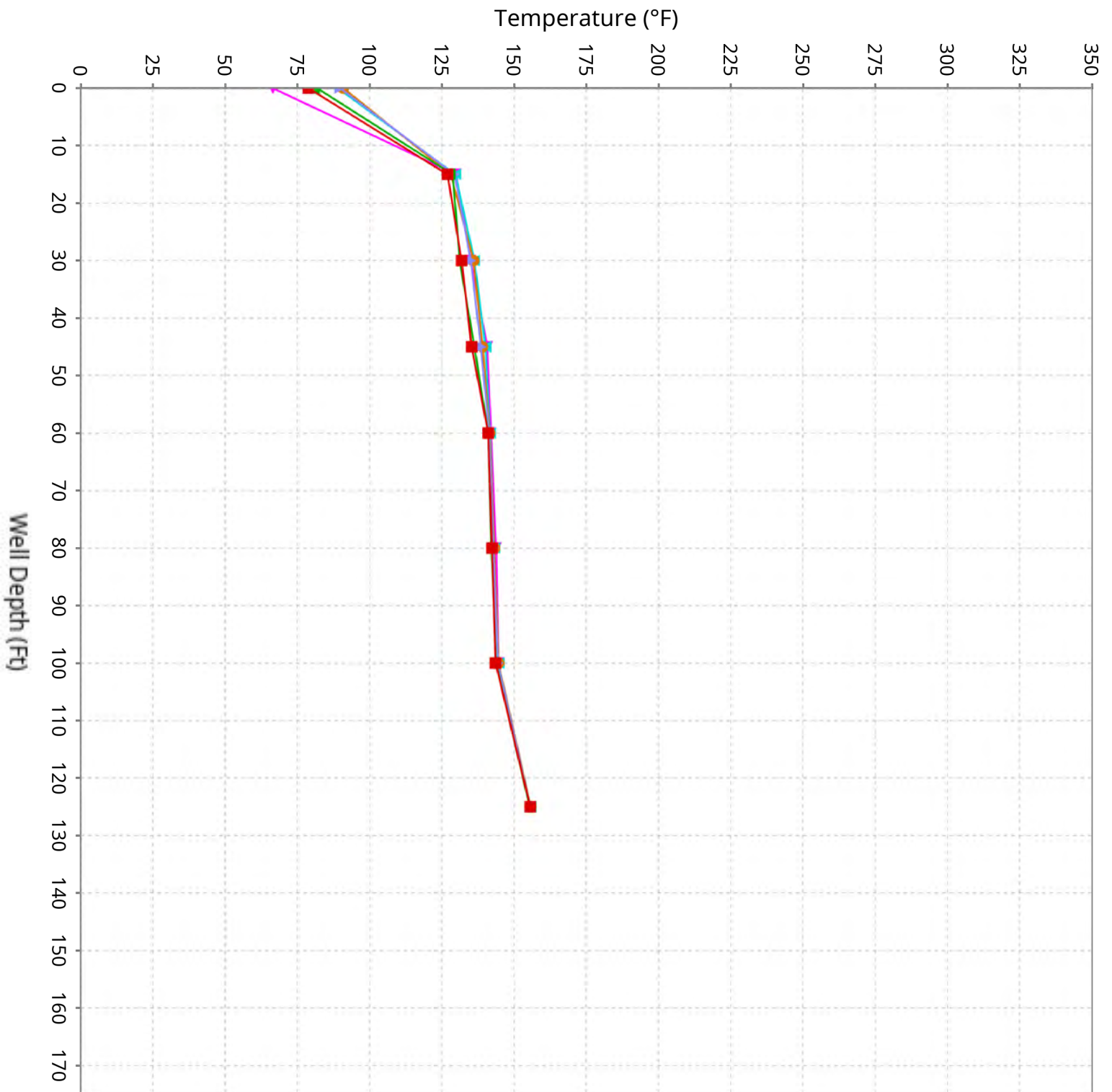
Vertical Temperature Profiles from Temperature Probes at Chiquita Landfill for TP-16

Maximum data for 11/20/2025 to 12/30/2025



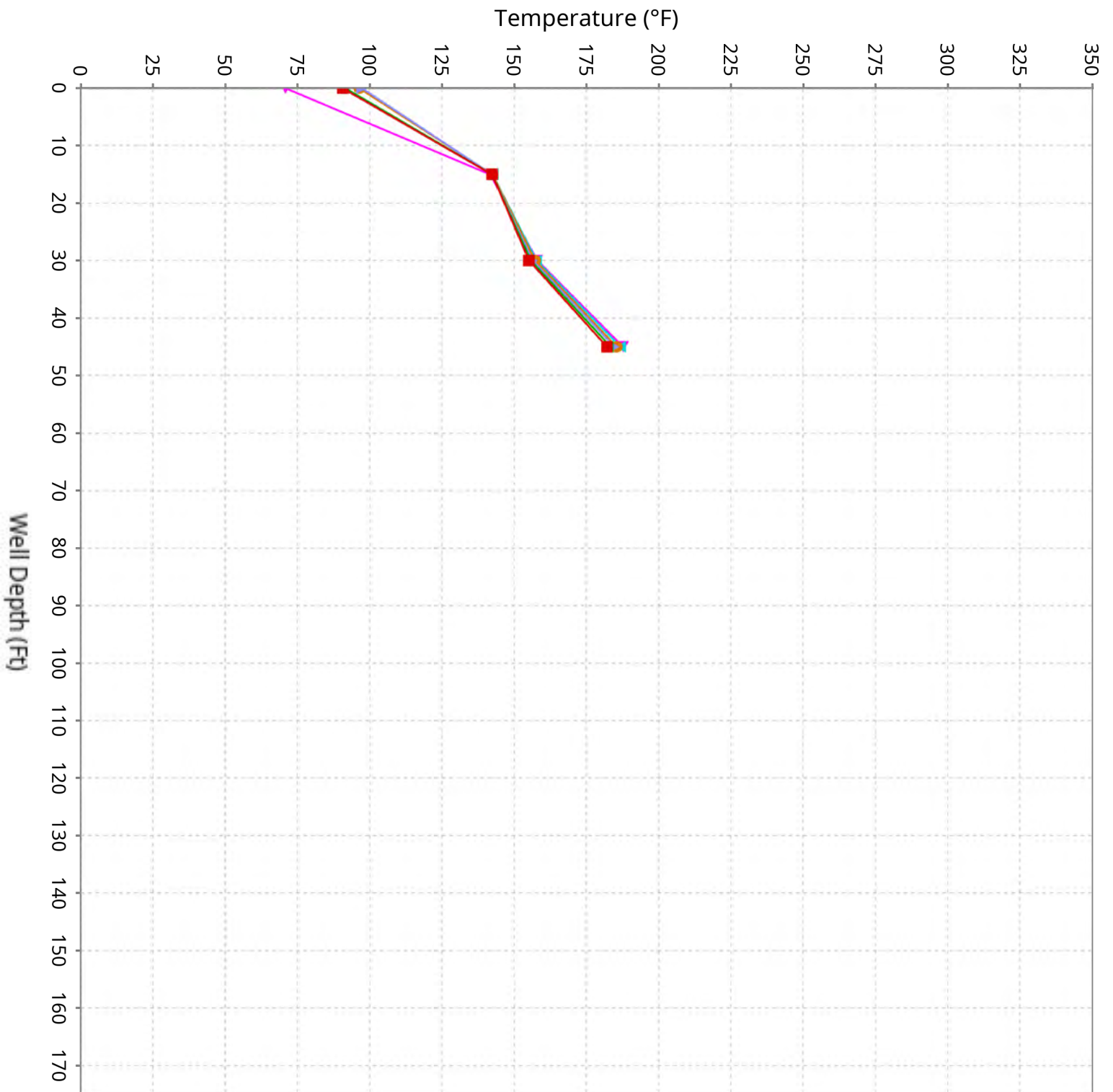
Vertical Temperature Profiles from Temperature Probes at Chiquita Landfill for TP-17

Maximum data for 11/20/2025 to 12/30/2025



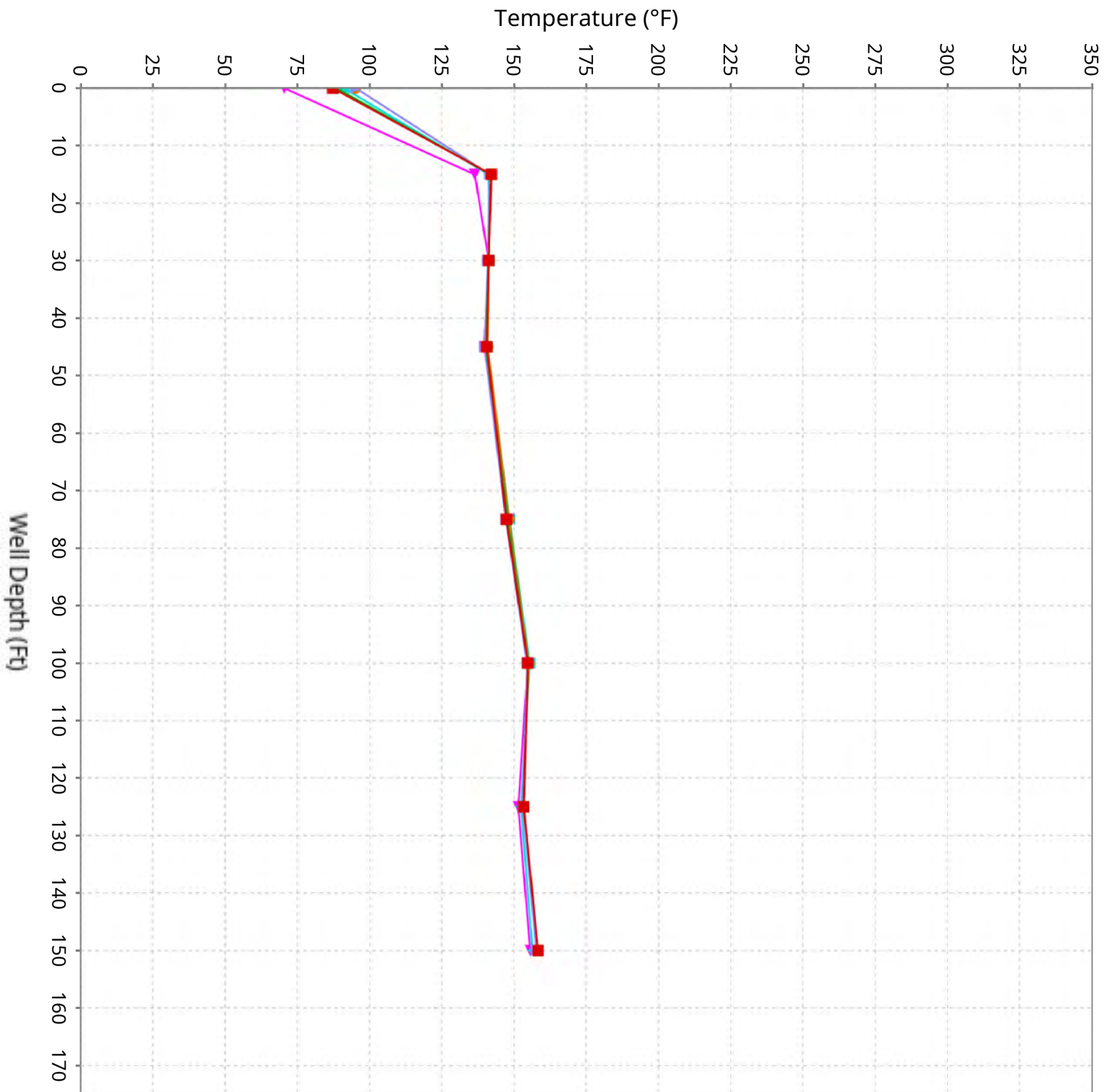
Vertical Temperature Profiles from Temperature Probes at Chiquita Landfill for TP-18

Maximum data for 11/20/2025 to 12/30/2025



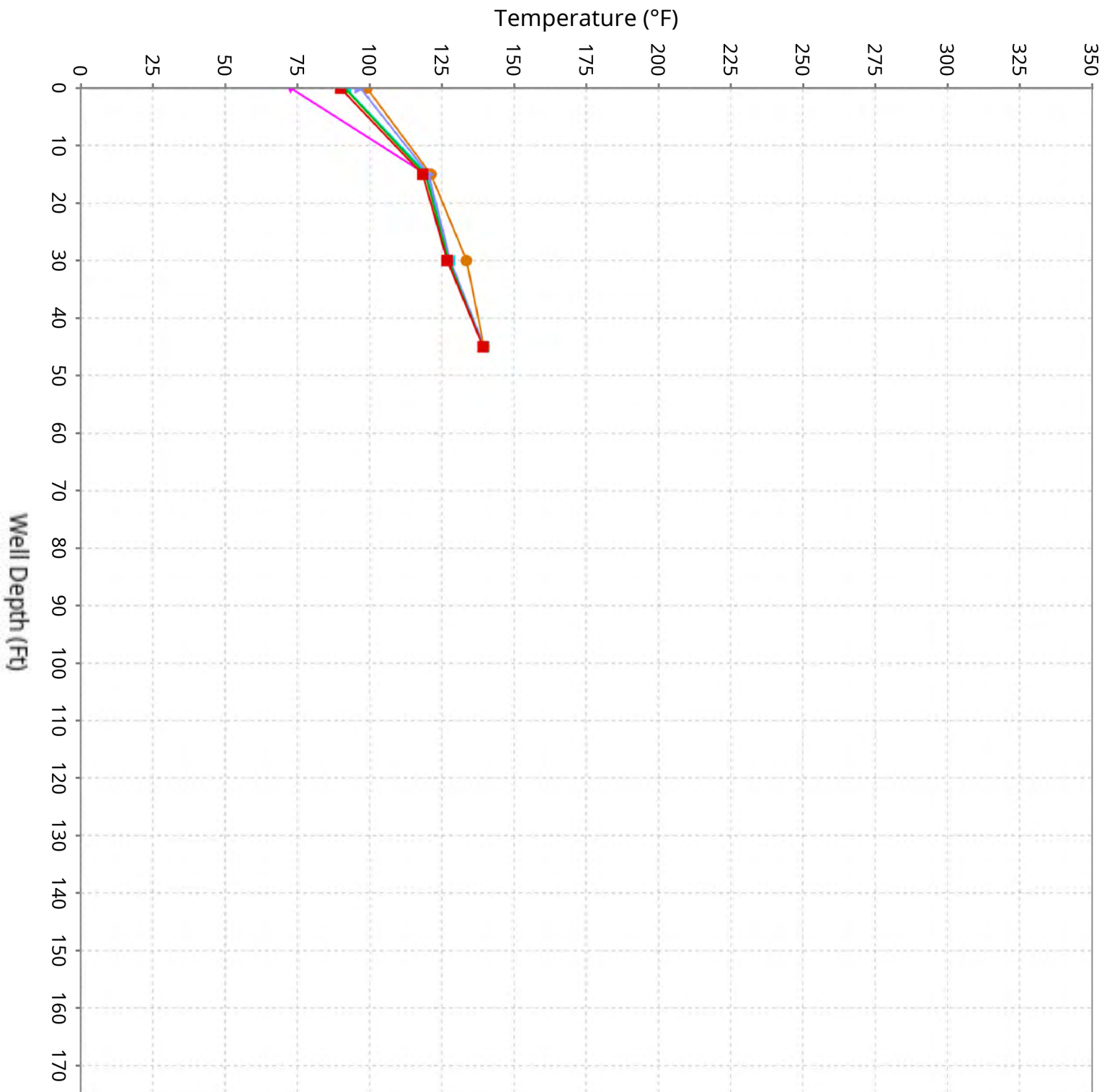
Vertical Temperature Profiles from Temperature Probes at Chiquita Landfill for TP-19

Maximum data for 11/20/2025 to 12/30/2025



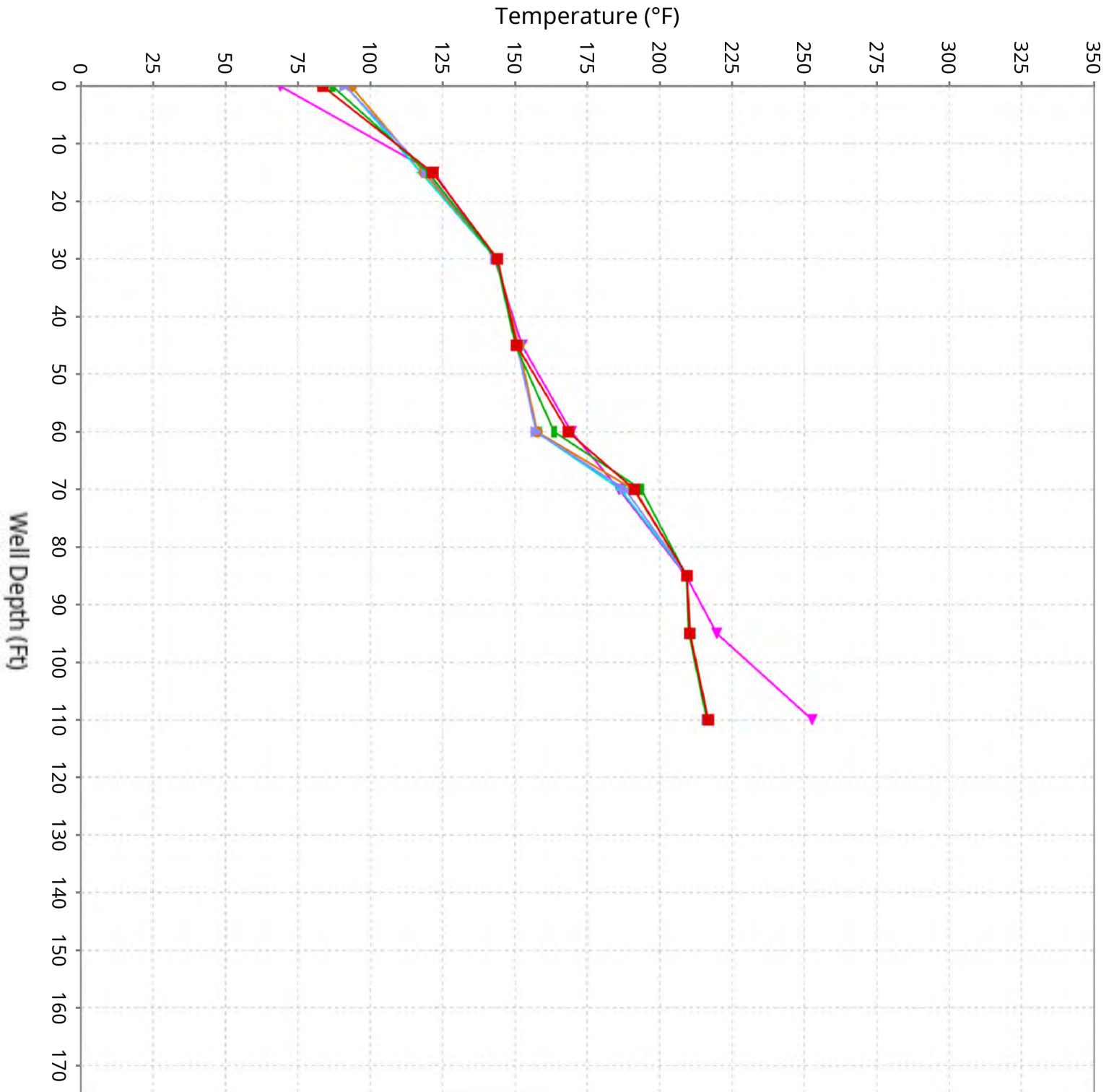
Vertical Temperature Profiles from Temperature Probes at Chiquita Landfill for TP-20

Maximum data for 11/20/2025 to 12/30/2025



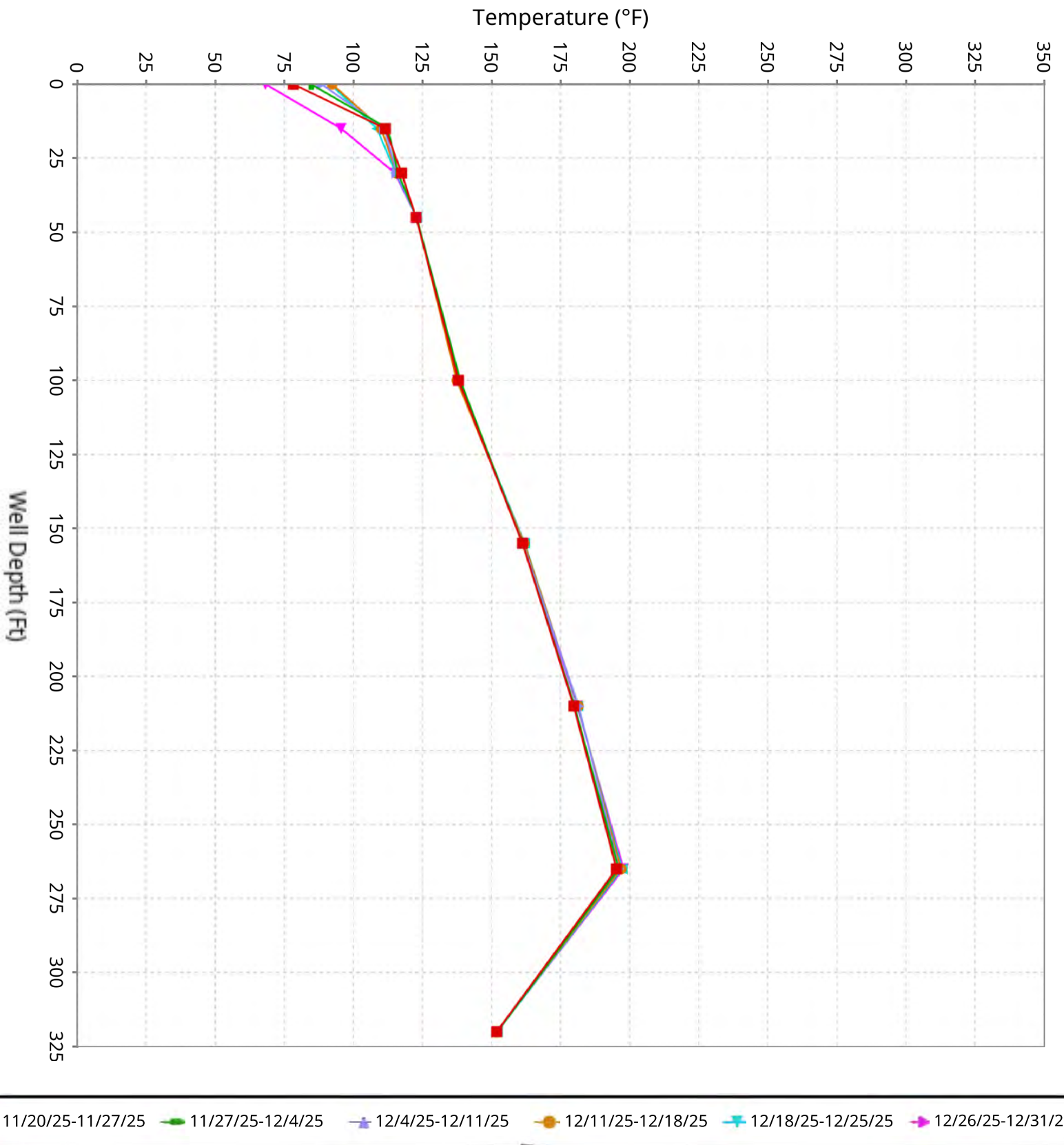
Vertical Temperature Profiles from Temperature Probes at Chiquita Landfill for TP-21

Maximum data for 11/20/2025 to 12/30/2025



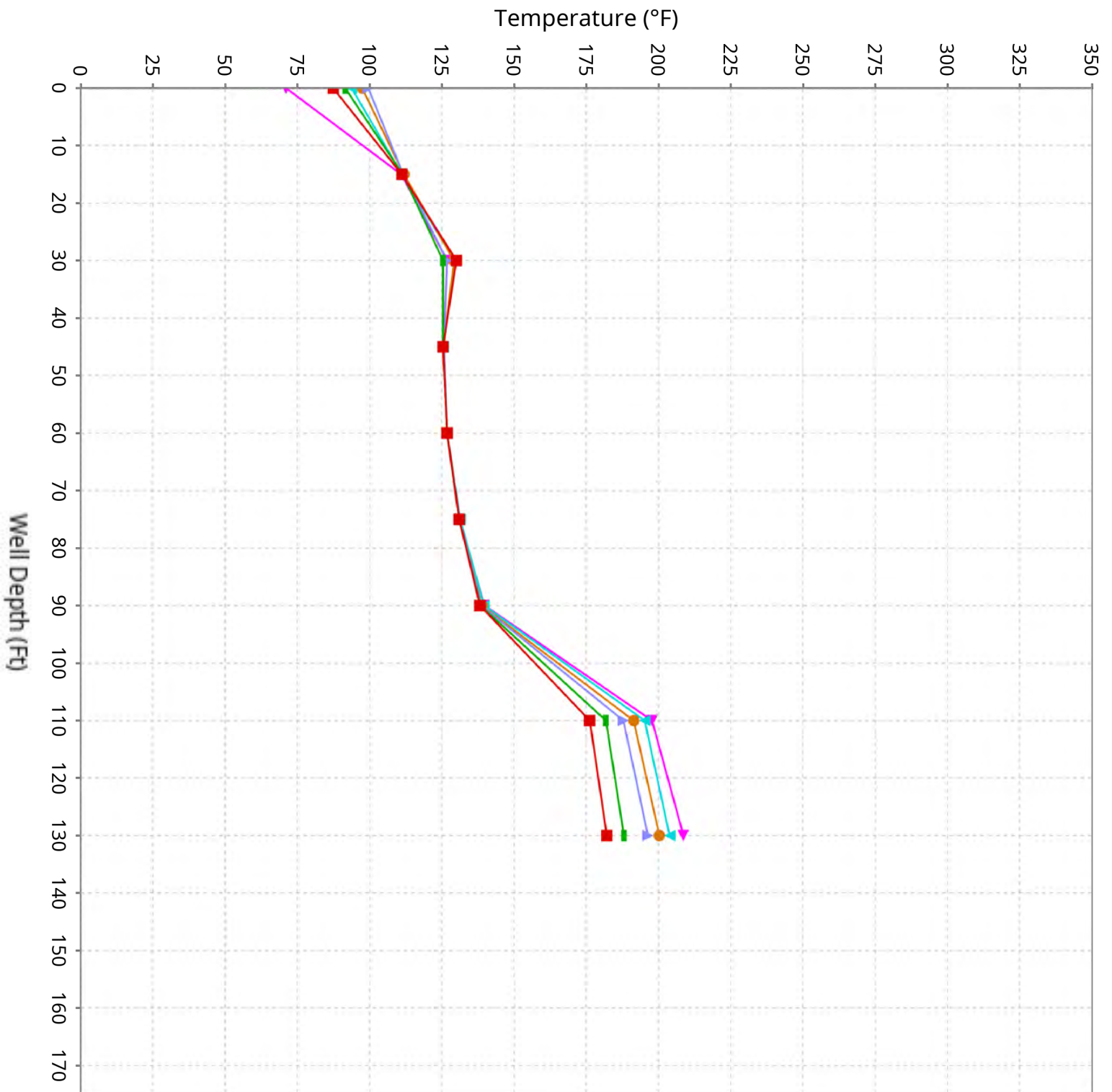
Vertical Temperature Profiles from Temperature Probes at Chiquita Landfill for TP-24

Maximum data for 11/20/2025 to 12/30/2025



Vertical Temperature Profiles from Temperature Probes at Chiquita Landfill for TP-25

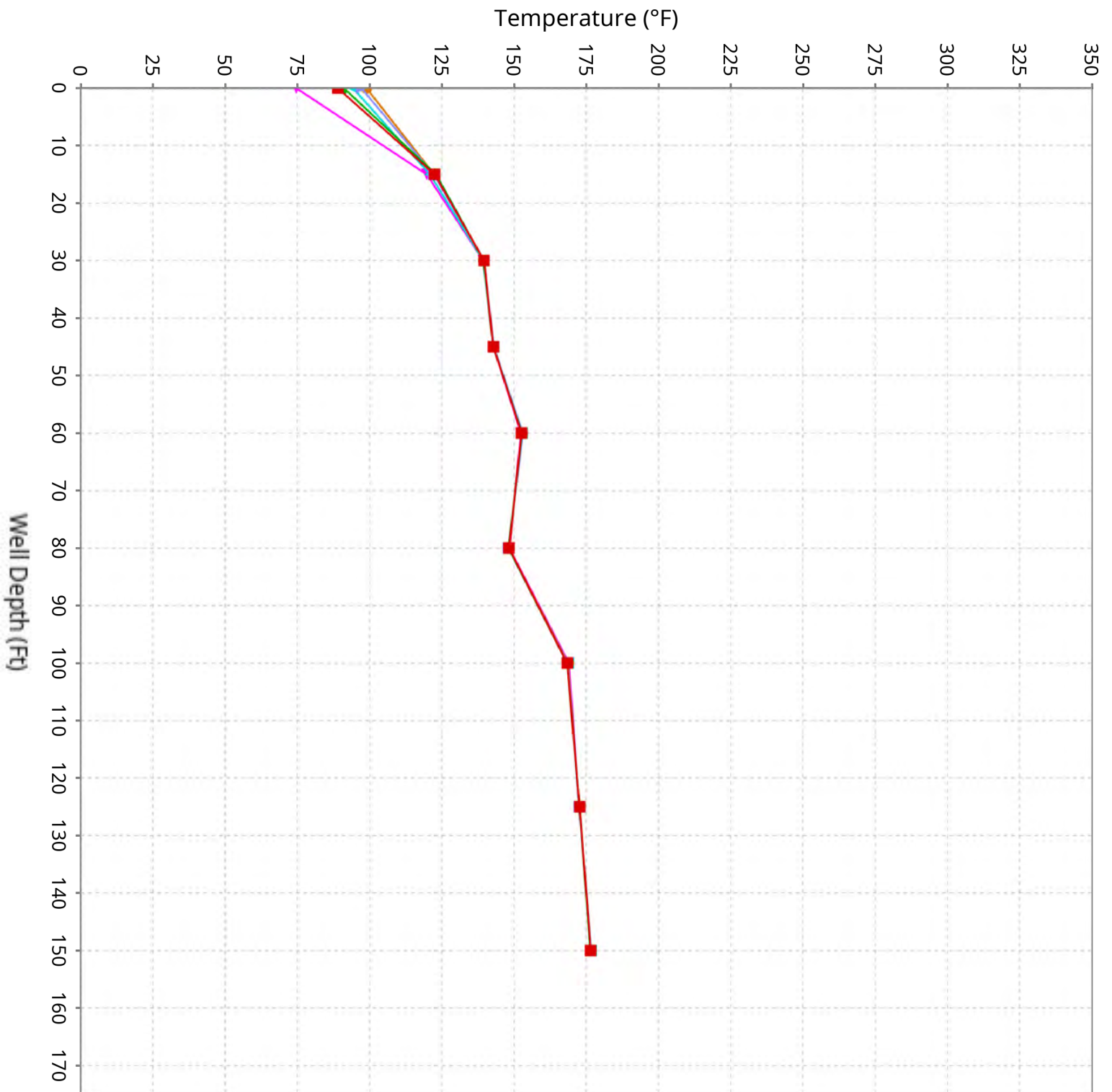
Maximum data for 11/20/2025 to 12/30/2025



■ 11/20/25-11/27/25 ■ 11/27/25-12/4/25 ■ 12/4/25-12/11/25 ■ 12/11/25-12/18/25 ■ 12/18/25-12/25/25 ■ 12/26/25-12/31/25

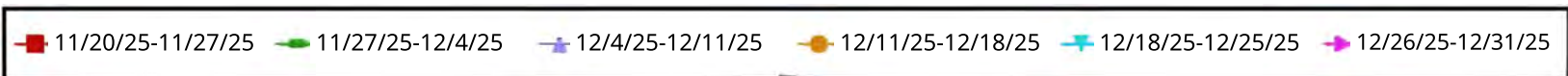
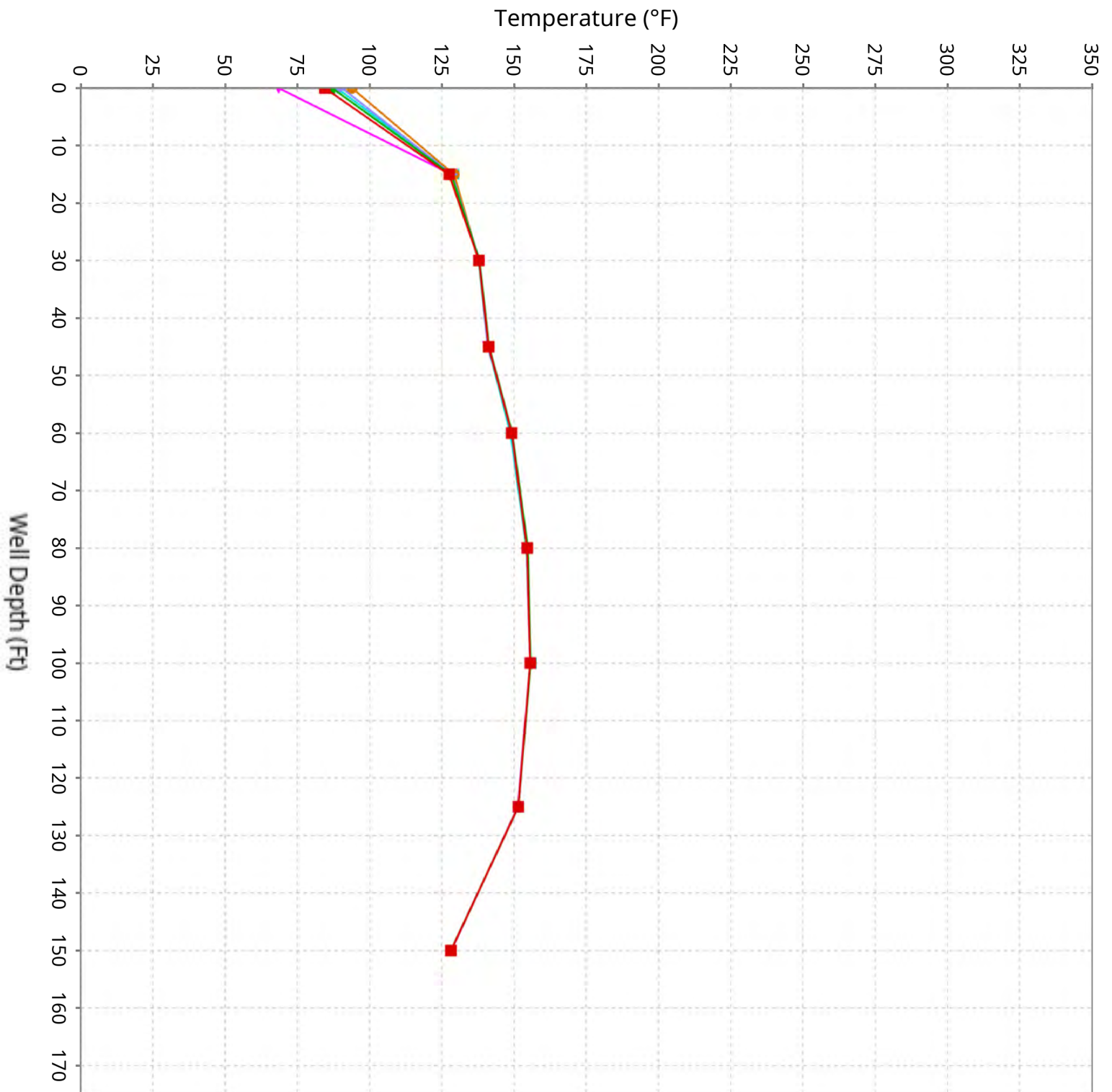
Vertical Temperature Profiles from Temperature Probes at Chiquita Landfill for TP-26

Maximum data for 11/20/2025 to 12/30/2025



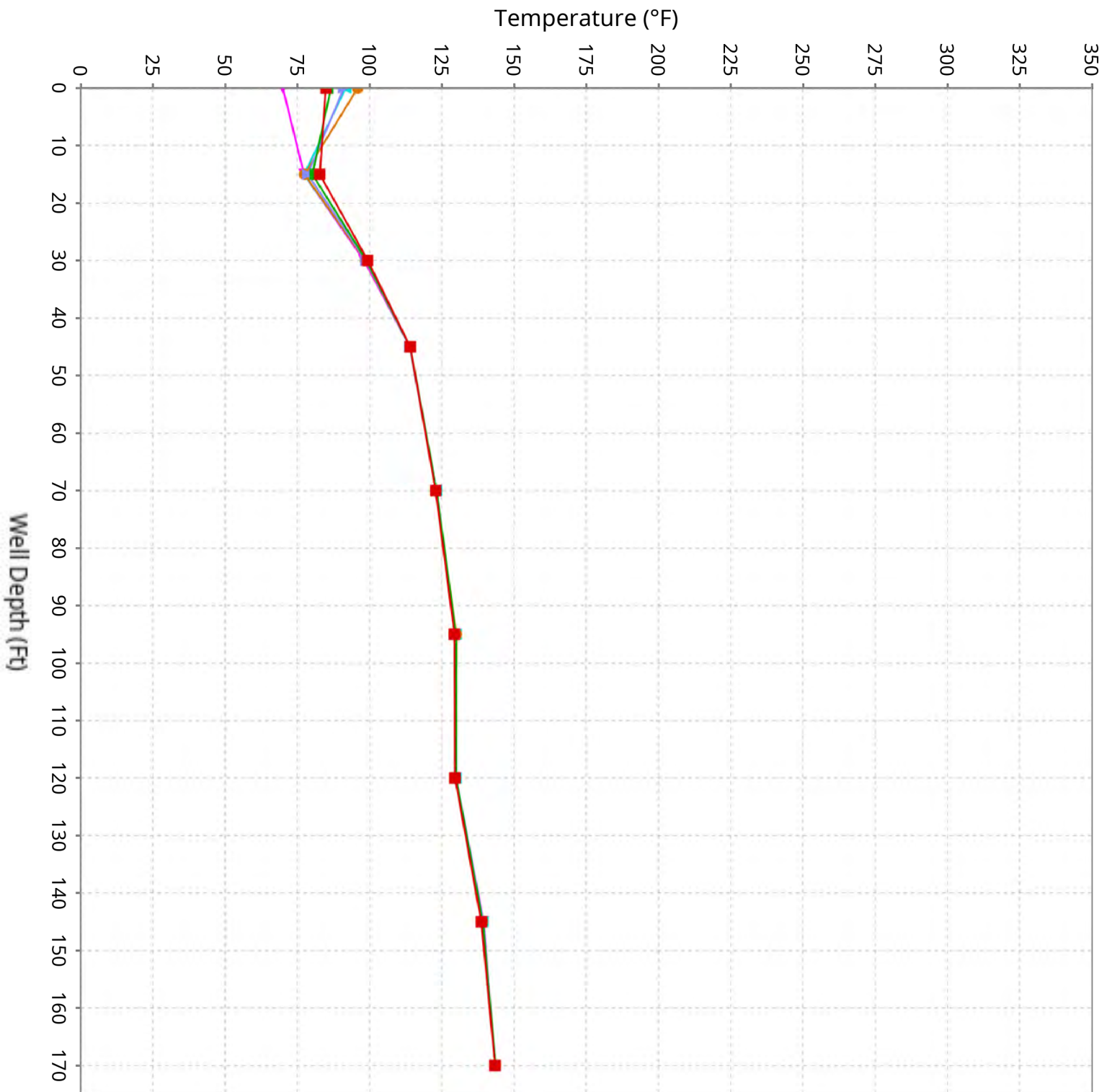
Vertical Temperature Profiles from Temperature Probes at Chiquita Landfill for TP-27

Maximum data for 11/20/2025 to 12/30/2025



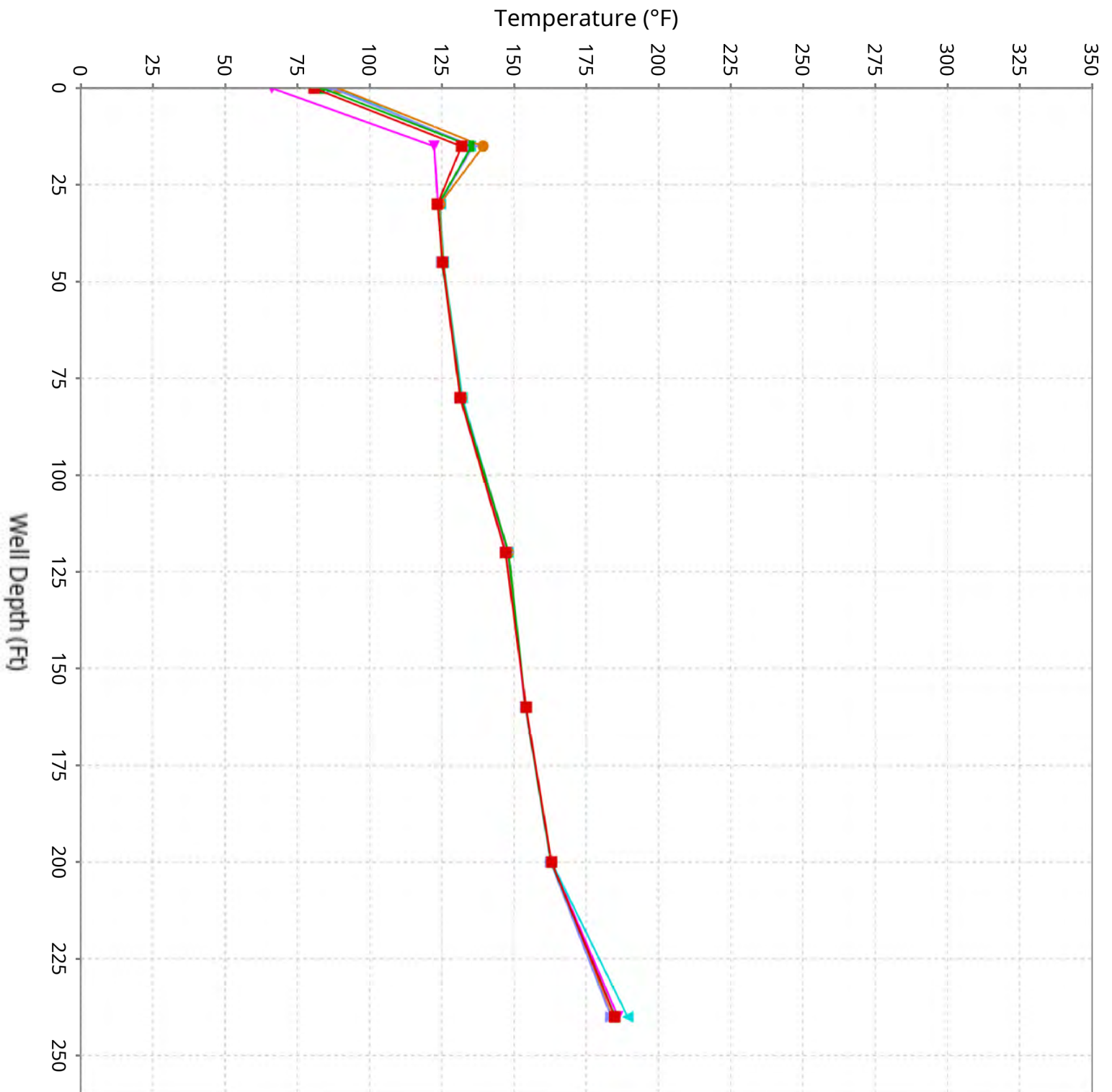
Vertical Temperature Profiles from Temperature Probes at Chiquita Landfill for TP-28

Maximum data for 11/20/2025 to 12/30/2025



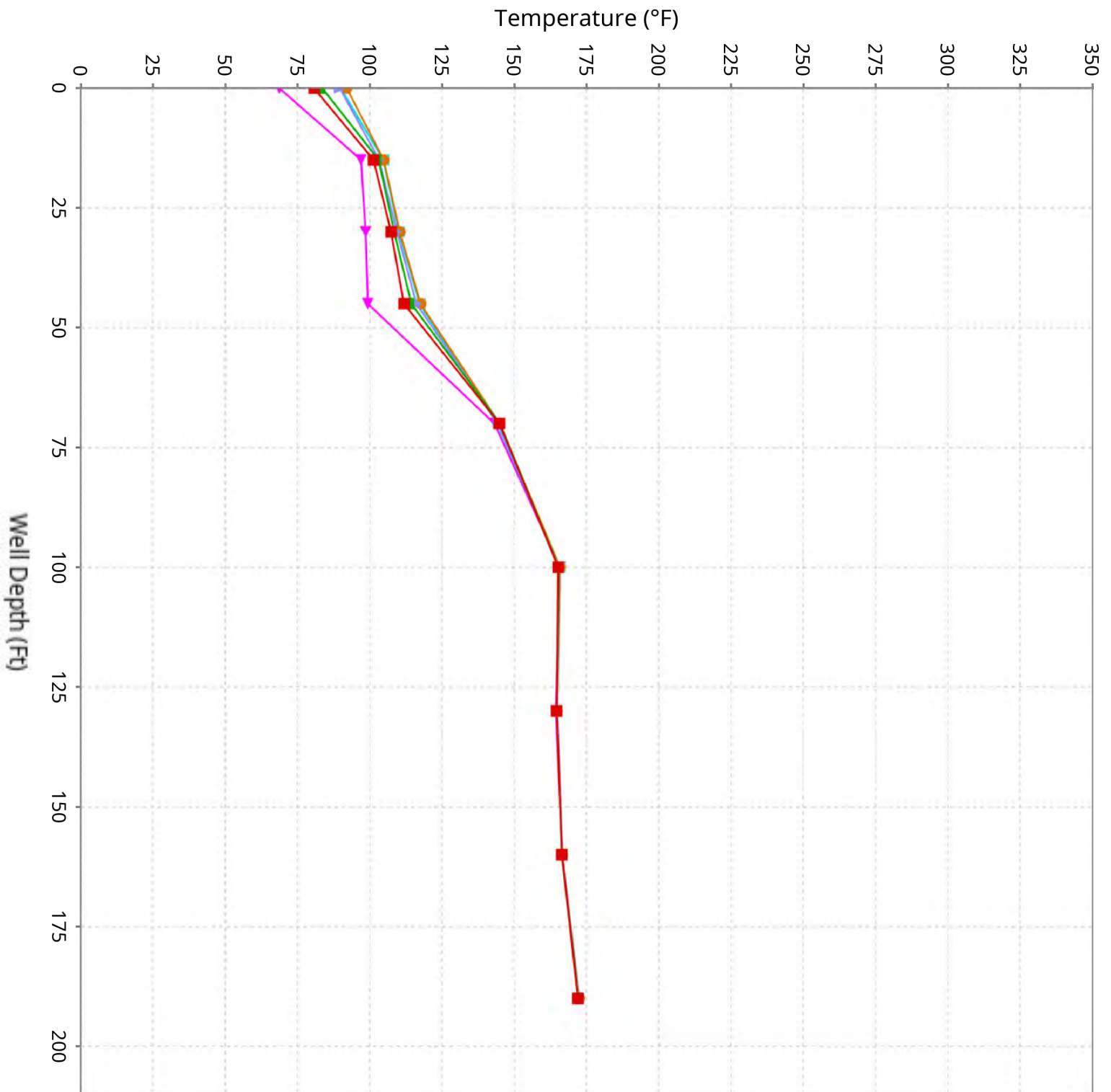
Vertical Temperature Profiles from Temperature Probes at Chiquita Landfill for TP-29

Maximum data for 11/20/2025 to 12/30/2025



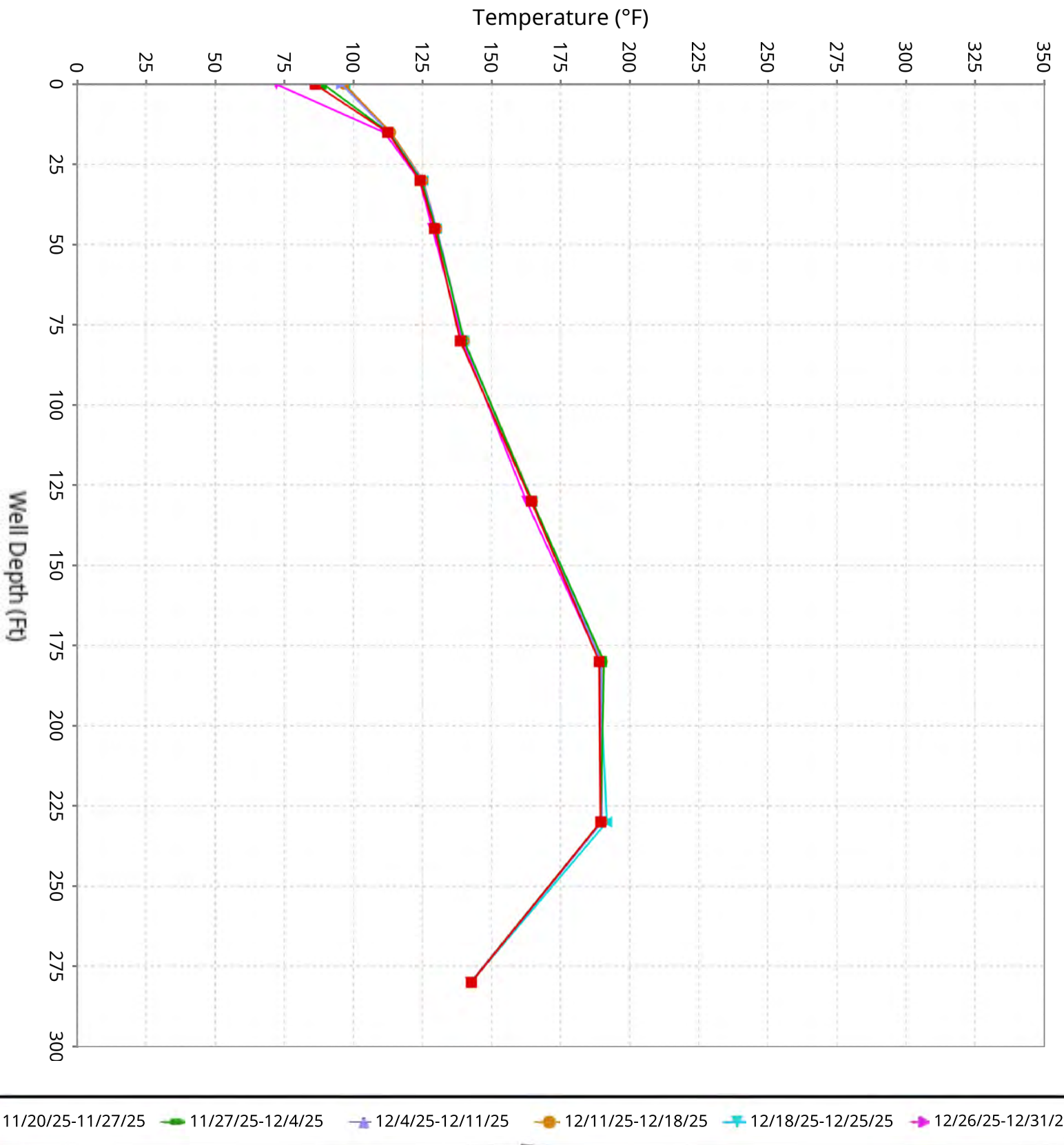
Vertical Temperature Profiles from Temperature Probes at Chiquita Landfill for TP-30

Maximum data for 11/20/2025 to 12/30/2025



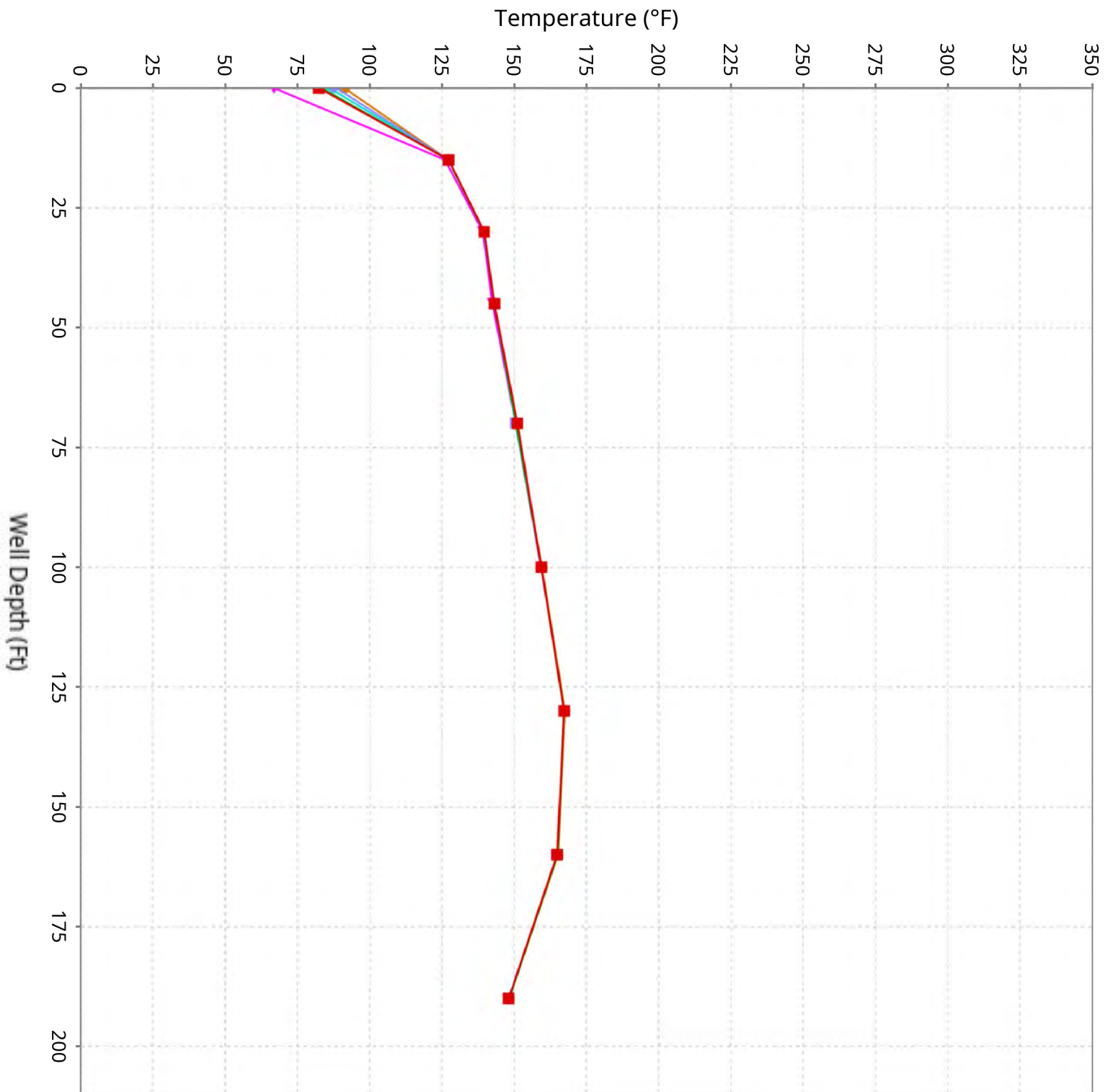
Vertical Temperature Profiles from Temperature Probes at Chiquita Landfill for TP-31

Maximum data for 11/20/2025 to 12/30/2025



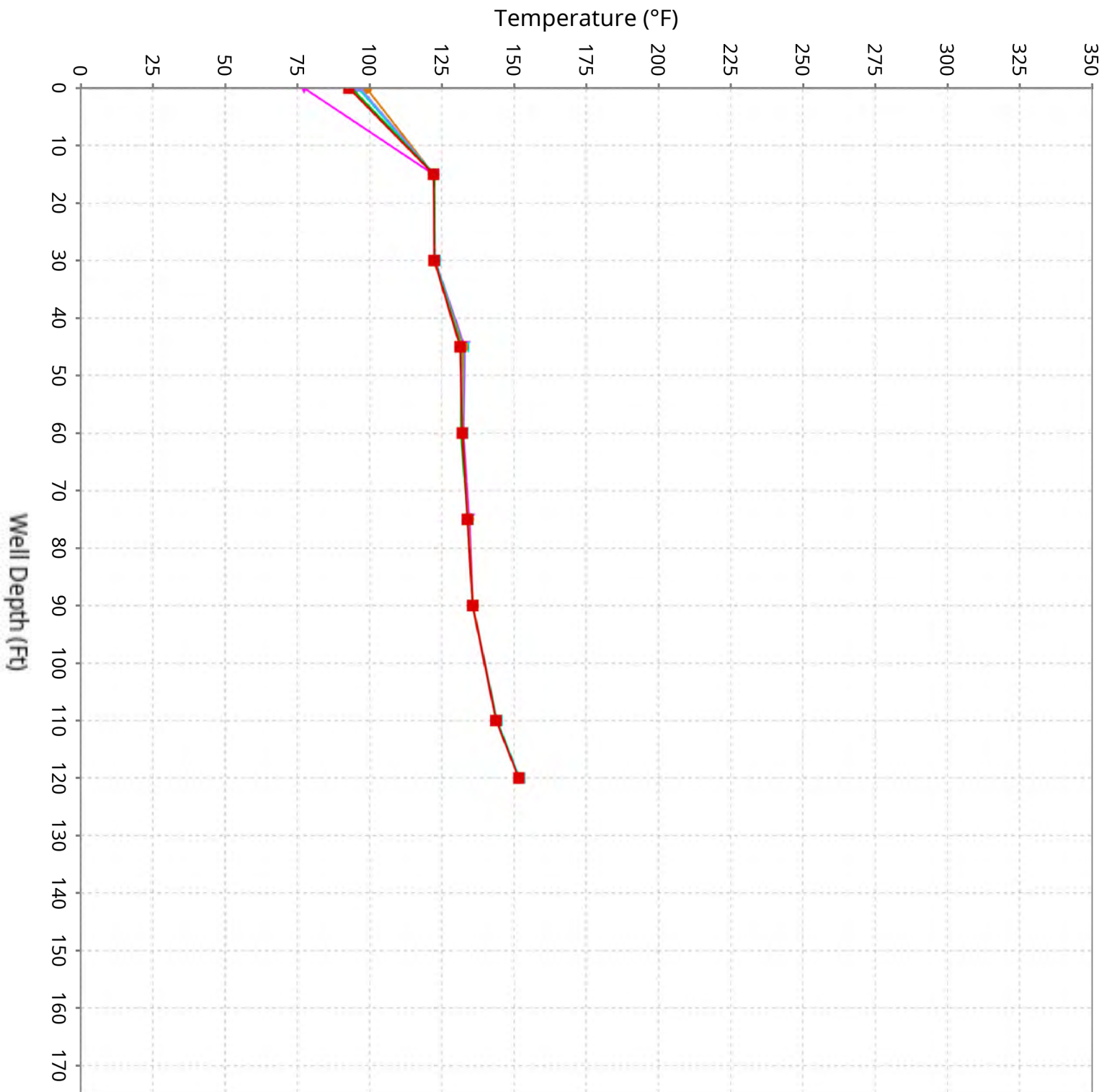
Vertical Temperature Profiles from Temperature Probes at Chiquita Landfill for TP-32

Maximum data for 11/20/2025 to 12/30/2025



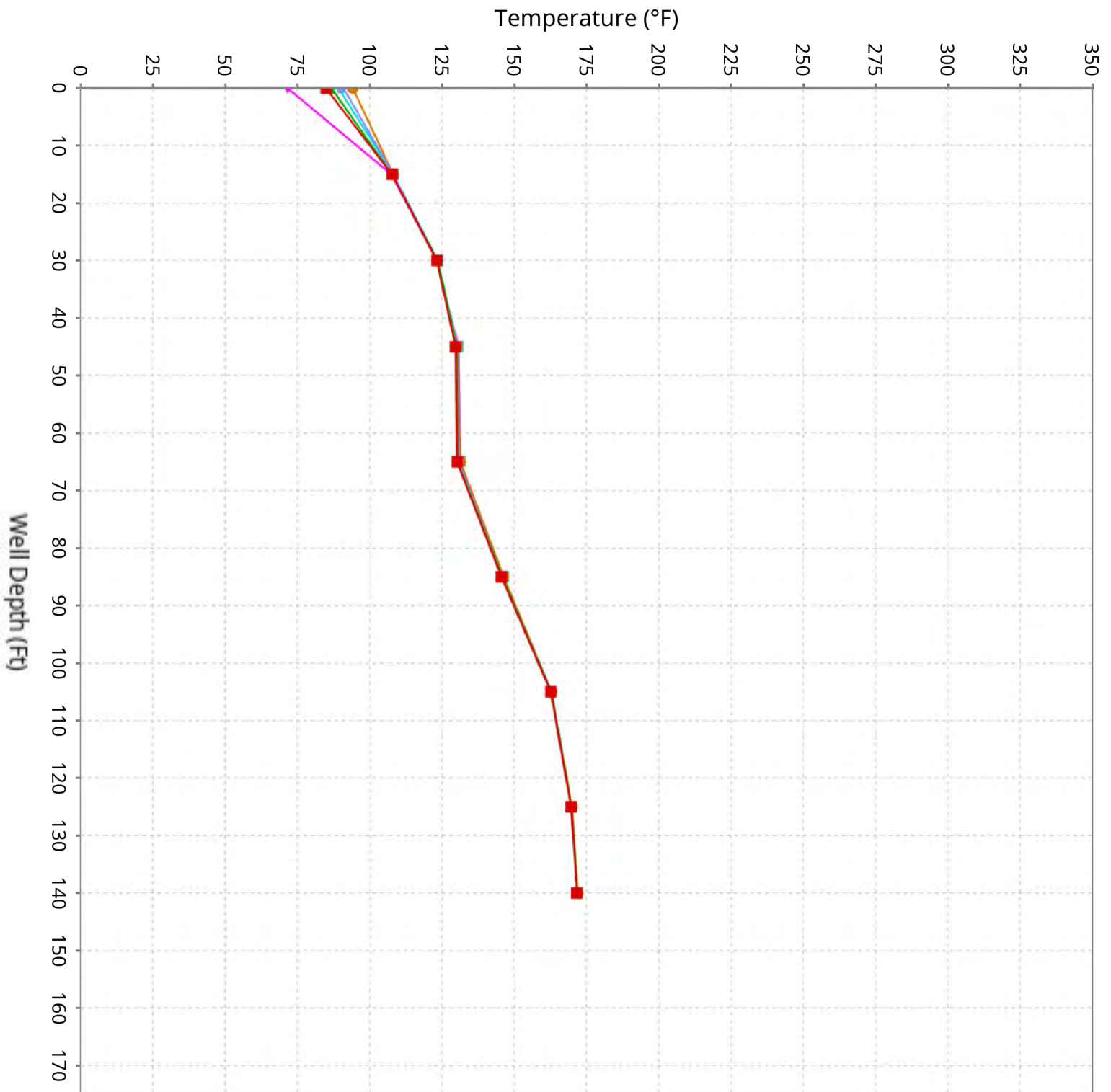
Vertical Temperature Profiles from Temperature Probes at Chiquita Landfill for TP-34

Maximum data for 11/20/2025 to 12/30/2025



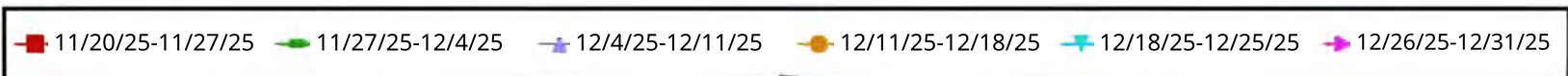
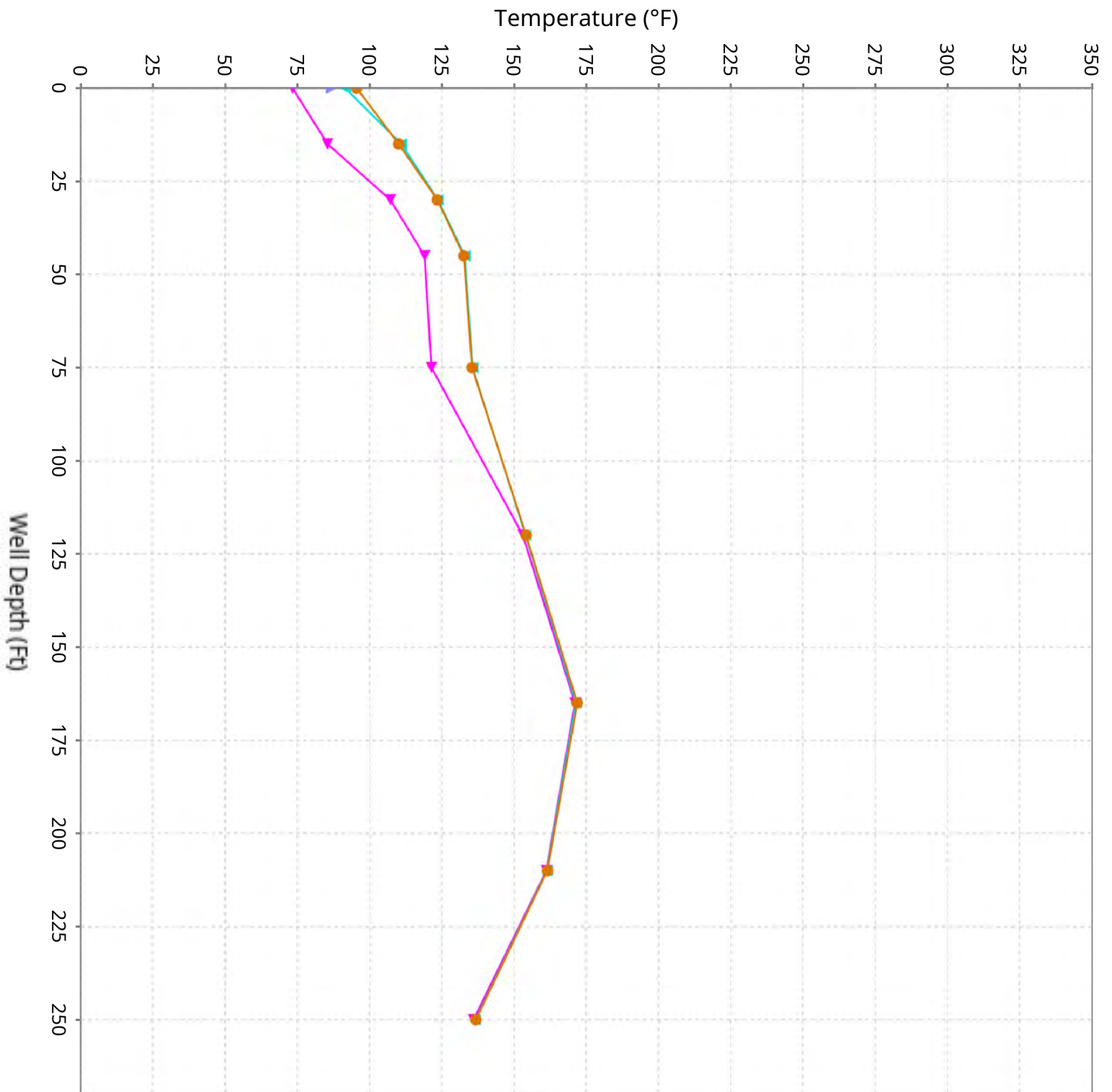
Vertical Temperature Profiles from Temperature Probes at Chiquita Landfill for TP-35

Maximum data for 11/20/2025 to 12/30/2025



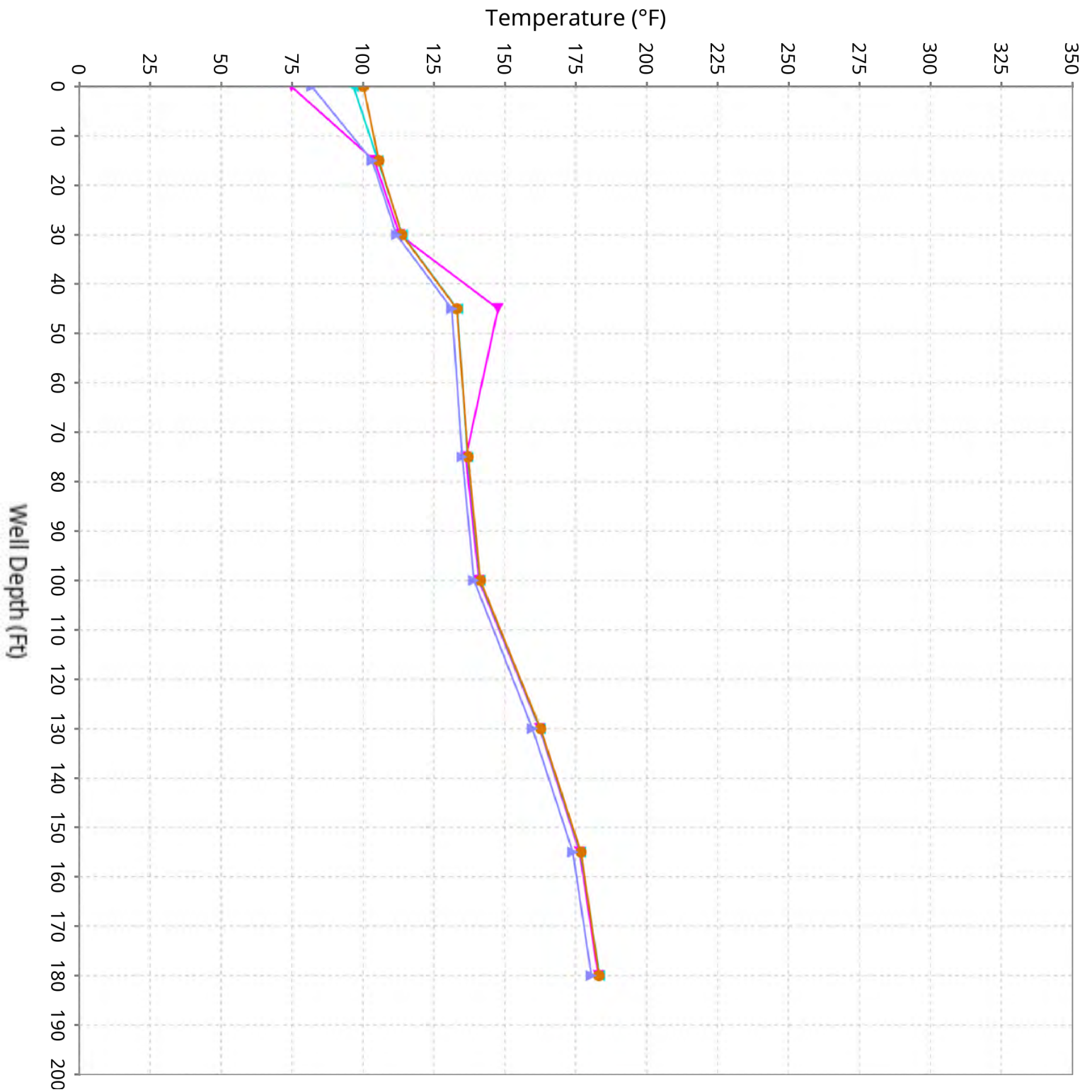
Vertical Temperature Profiles from Temperature Probes at Chiquita Landfill for TP-36

Maximum data for 11/20/2025 to 12/30/2025



Vertical Temperature Profiles from Temperature Probes at Chiquita Landfill for TP-37

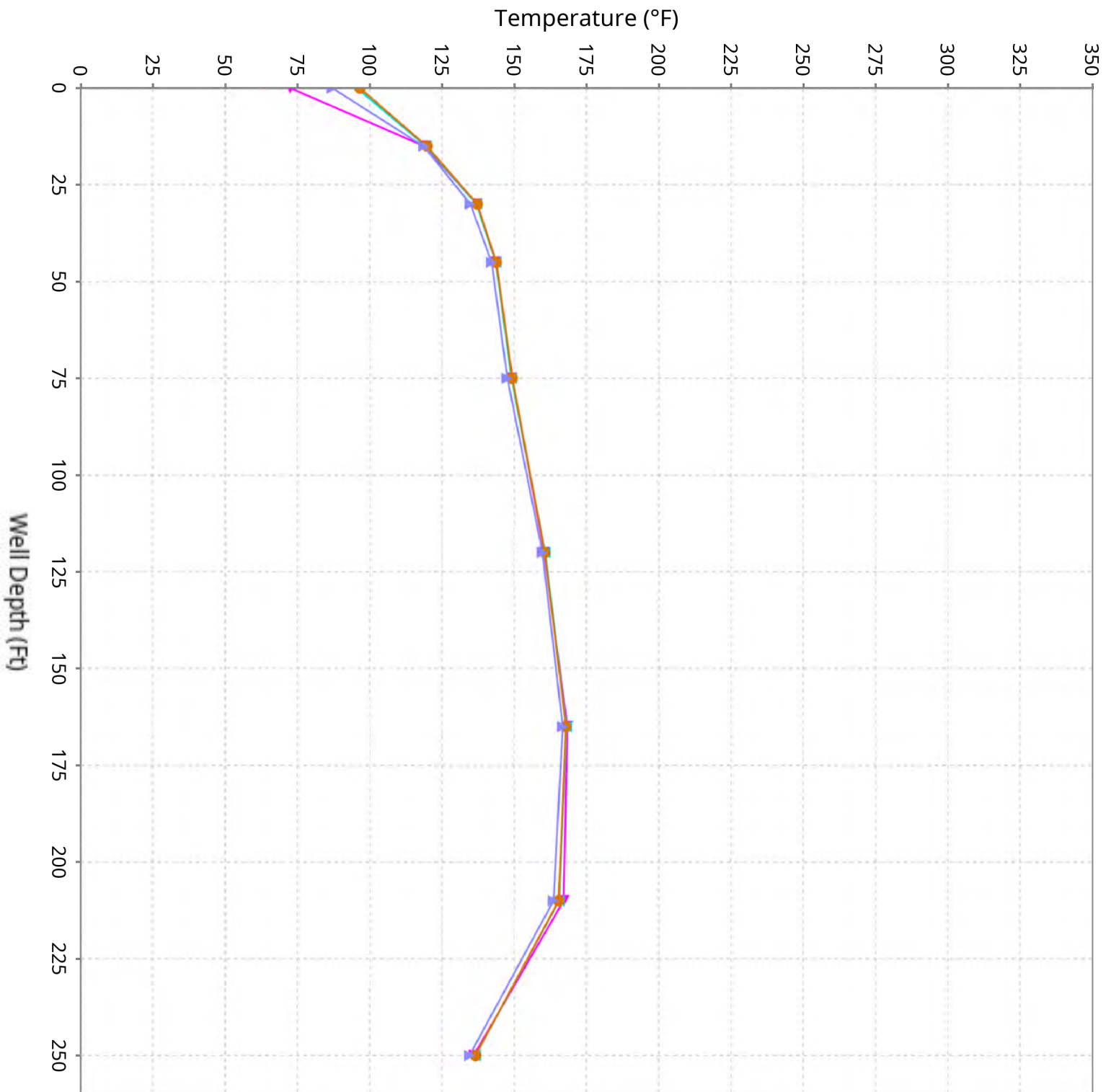
Maximum data for 11/20/2025 to 12/30/2025



■ 11/20/25-11/27/25 ■ 11/27/25-12/4/25 ■ 12/4/25-12/11/25 ■ 12/11/25-12/18/25 ■ 12/18/25-12/25/25 ■ 12/26/25-12/31/25

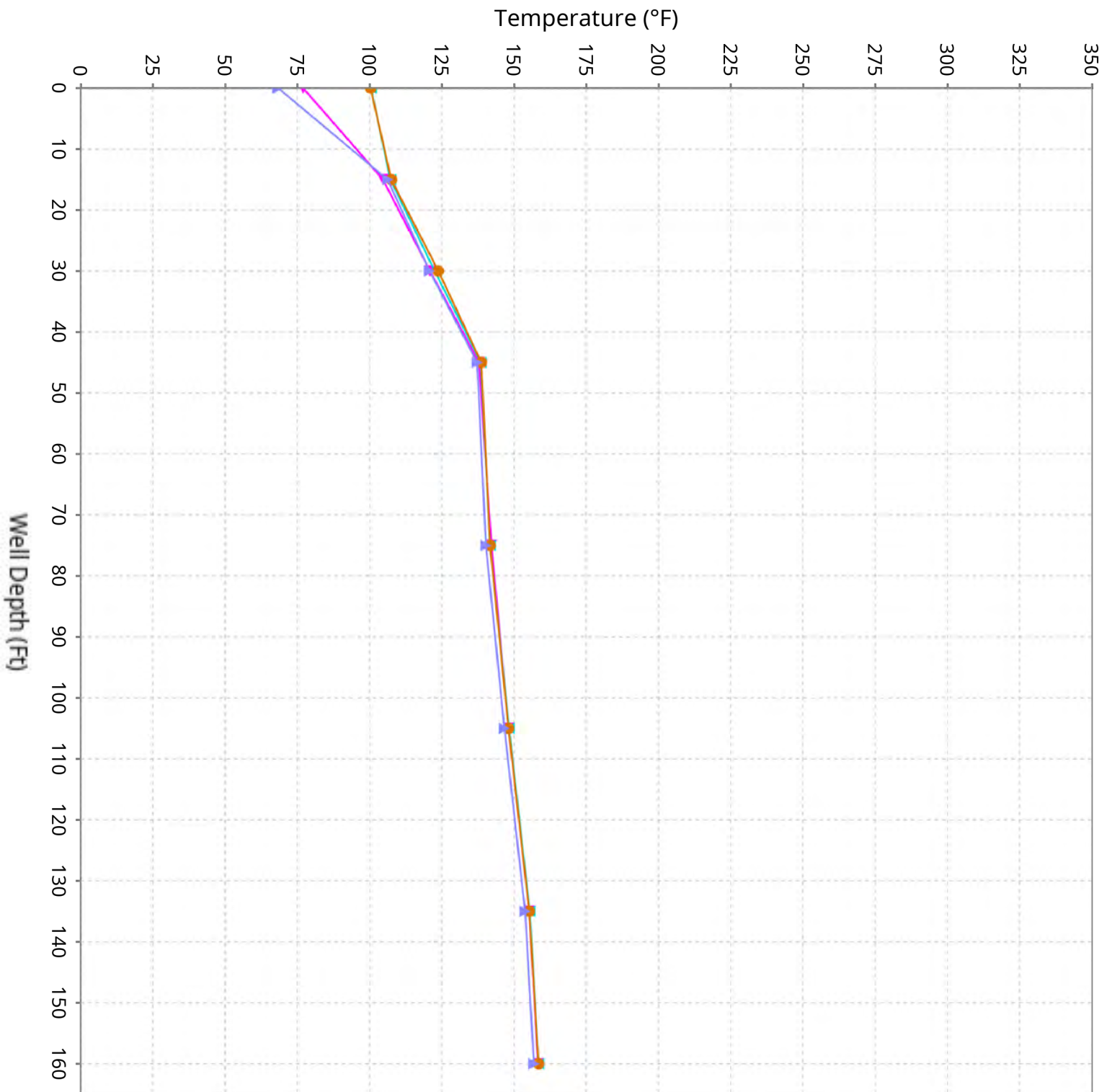
Vertical Temperature Profiles from Temperature Probes at Chiquita Landfill for TP-38

Maximum data for 11/20/2025 to 12/30/2025



Vertical Temperature Profiles from Temperature Probes at Chiquita Landfill for TP-39

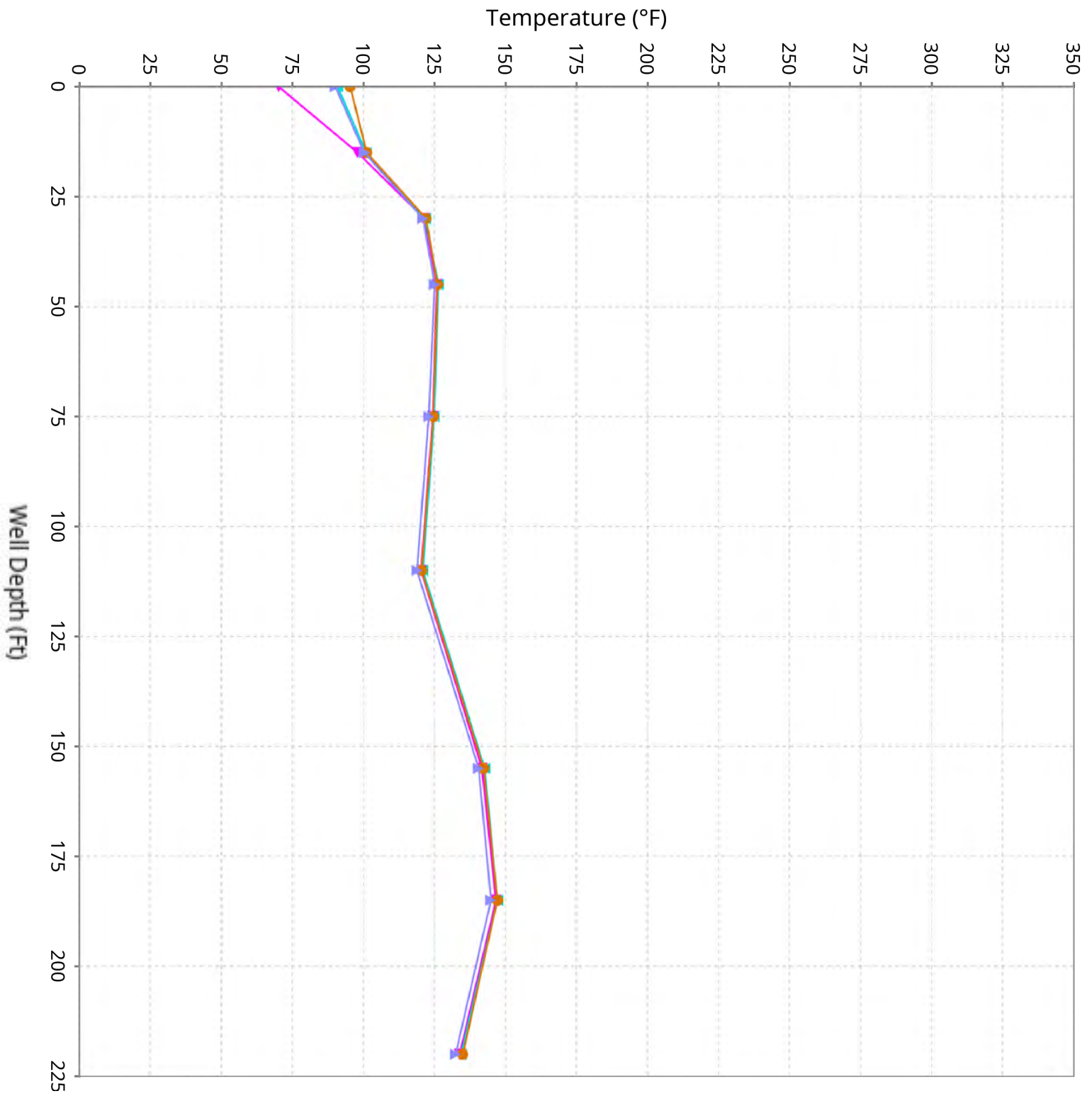
Maximum data for 11/20/2025 to 12/30/2025



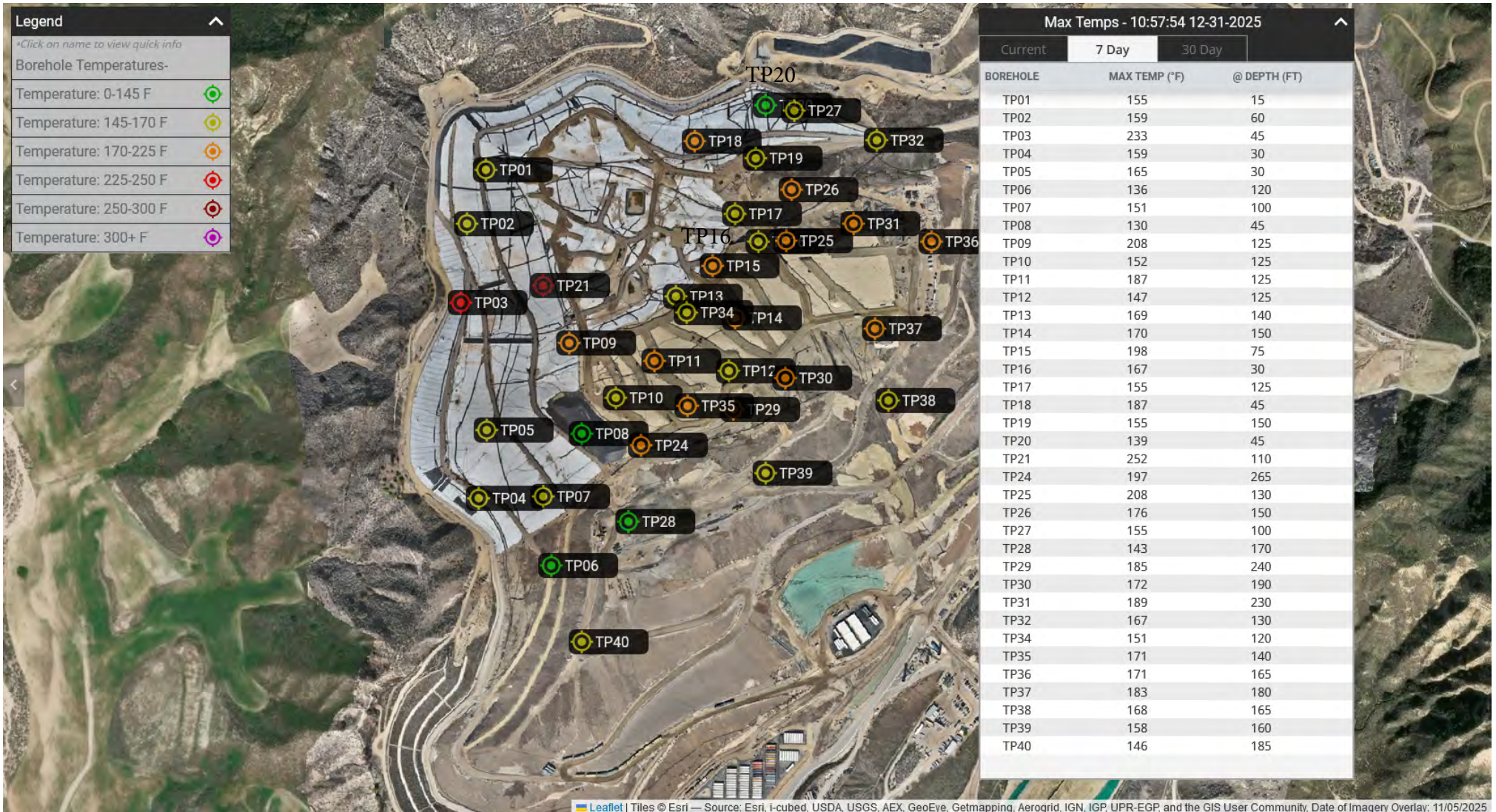
■ 11/20/25-11/27/25 ■ 11/27/25-12/4/25 ■ 12/4/25-12/11/25 ■ 12/11/25-12/18/25 ■ 12/18/25-12/25/25 ■ 12/26/25-12/31/25

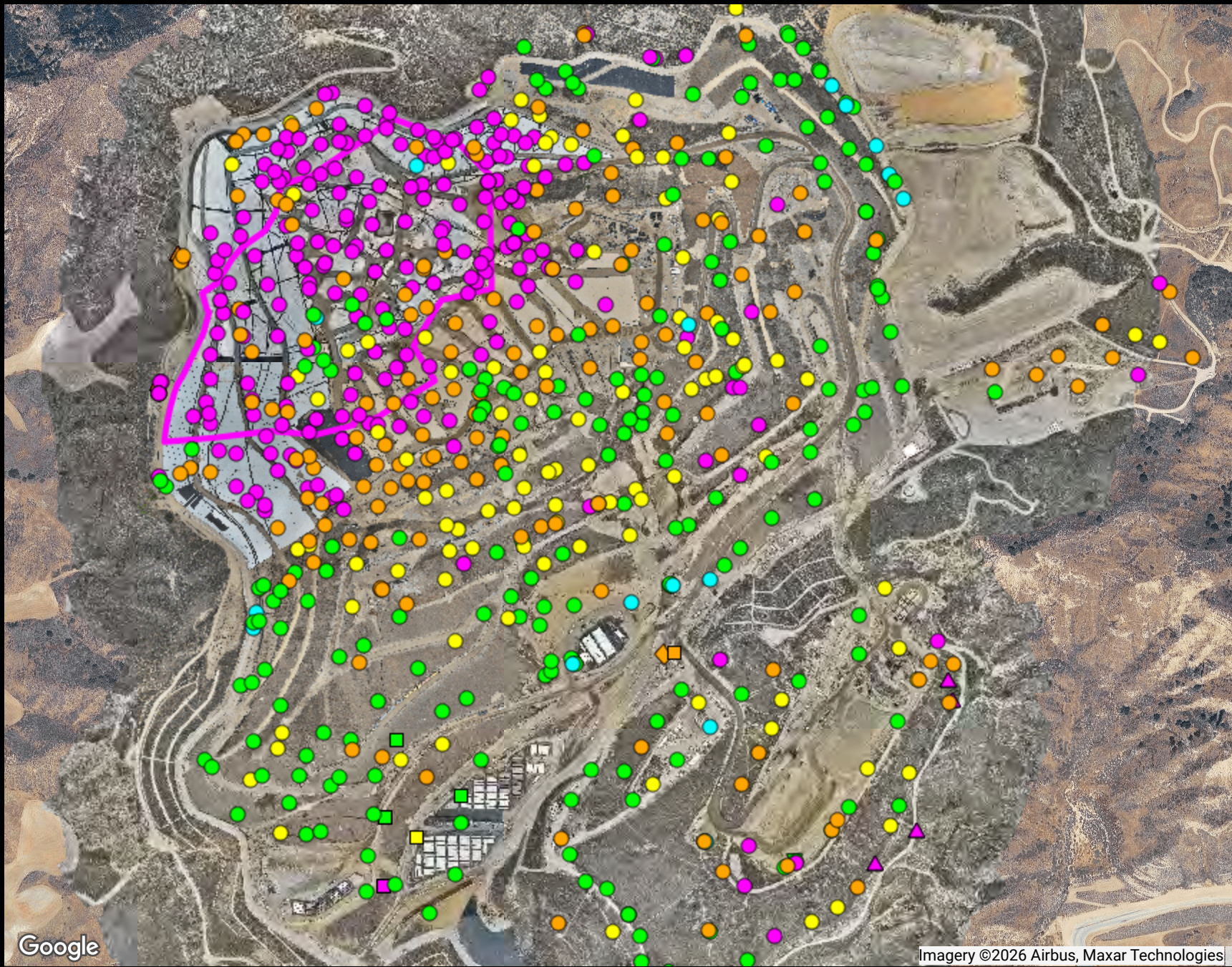
Vertical Temperature Profiles from Temperature Probes at Chiquita Landfill for TP-40

Maximum data for 11/20/2025 to 12/30/2025



Maximum Vertical Temperature Map from Temperature Probes at Chiquita Landfill





Ranges Mapped

	# Points
■ ≥ 0 and < 0.5	302
■ ≥ 0.5 and < 0.9	181
■ ≥ 0.9 and < 1.1	116
■ ≥ 1.1 and < 1.5	210
■ ≥ 1.5 and < 101	16

Point Type Legend

- ▽ calibration record
- ◇ flare-engine-ghg
- △ monitoring probe
- sample port
- well

Google

Imagery ©2026 Airbus, Maxar Technologies

ATTACHMENT D

Chiquita Canyon Landfill

Range Map

Parameter: CH₄/CO₂ Ratio (high range)

Analysis Method: MostRecent

Date Range: 12/01/2025 - 12/31/2025

Map generation date : 01/09/2026





Ranges Mapped

			# Points
Cyan	>= 0	and < 20000	69
Green	>= 20000	and < 50000	3
Yellow	>= 50000	and < 100000	20
Orange	>= 100000	and < 999999	49

The range values noted above are in units of parts per million (ppm). Divide by 10,000 to convert these values to units of percent by volume.

Point Type Legend

- ▽ calibration record
- ◇ flare-engine-ghg
- △ monitoring probe
- sample port
- well

ATTACHMENT E

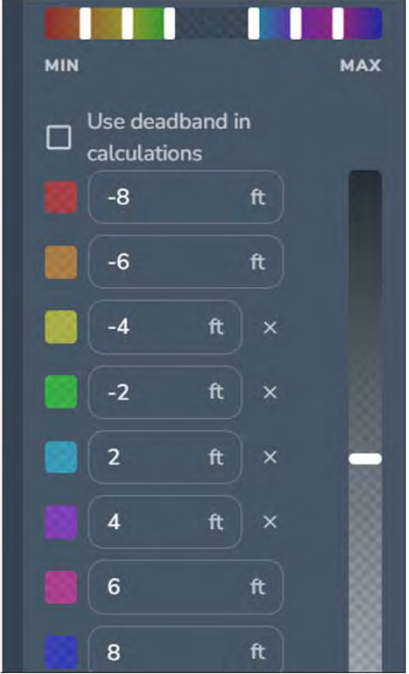
**Chiquita Canyon Landfill
Range Map
Parameter: H2 (mid range)
Analysis Method: MostRecent**

Date Range: 12/01/2025 - 12/31/2025

Map generation date : 01/09/2026



Chiquita Canyon Landfill - Quarterly Isopach



December 30, 2025 Survey Image. October 1, 2025 vs. December 30, 2025